



**ALAKVÁLTOZÁS,**  
**HOSSZ- ÉS HOSSZVÁLTOZÁSMÉRÉS,**  
**ZSUGORODÁS, HŐTÁGULÁS,**  
**KÚSZÁS ÉS ERNYEDÉS**

Dr. Kausay Tibor

## Alakváltozás

A jelenséget, amelynek esetén valamely hatásra ( **külső erő hatására** vagy **egyéb külső-belső hatásra**) a szilárd test pontjai egymáshoz képest elmozdulnak és a test anyagi, geometriai alakzatai (anyagi vonalak **hossza**, anyagi vonalak által bezárt **szög**, testek **térfogata** stb.) megváltoznak, alakváltozásnak nevezzük.

### Spontán alakváltozás

Az alakváltozást **spontán alakváltozásnak** nevezzük, ha nem külső erő vagy annak változása hatására, hanem valamely egyéb külső-belső hatásra (például *hőmérsékletváltozás, beton esetén zsugorodás, kúszás*) jön létre.

**Spontán** latin eredetű szó, **jelentése általában:** kényszer nélküli, szabad, önkéntes, **jelentése a tudományban:** külső beavatkozástól függetlenül létrejövő.

### Hosszváltozás ( $\Delta \ell$ )

A hosszváltozás = lineáris alakváltozás, és mint ilyen az alakváltozások legegyszerűbb formája. A hosszváltozás a megváltozott hosszúság (például:  $L$ ) és az eredeti hosszúság (például:  $L_0$ ) különbsége:  $\Delta \ell = L - L_0$ .

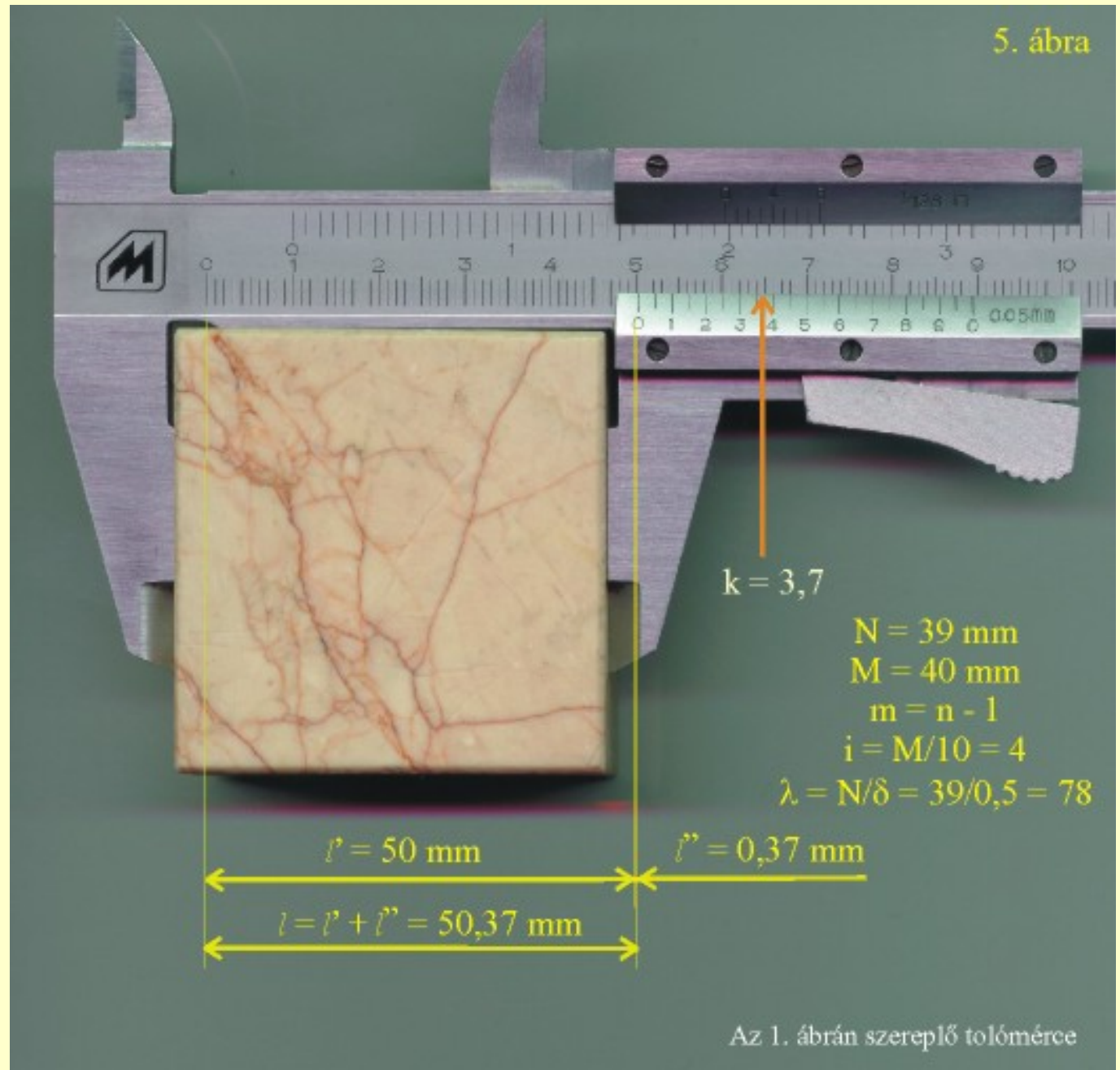
Az eredeti hosszúságot mérési alaphossznak is nevezzük.

### Fajlagos hosszváltozás

A fajlagos hosszváltozás a hosszváltozás ( $\Delta \ell$ ) és az eredeti hosszúság ( $L_0$ ) hányadosa:  $\varepsilon = \Delta \ell / L_0$

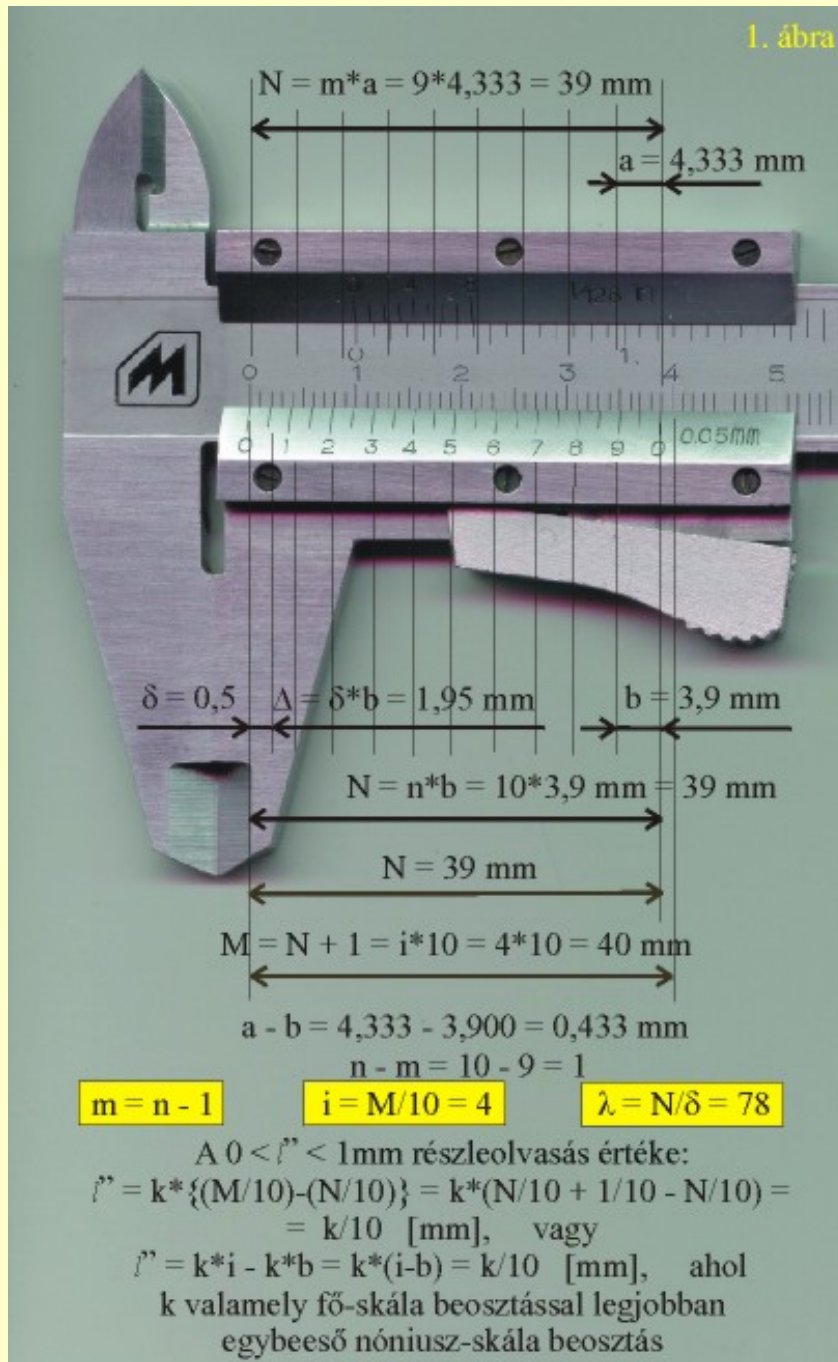
A **nóniusz-skála**  
nevét  
**Pedro Nunez**  
(1492-1577)  
portugál  
matematikustól  
kapta.

A **nóniusz-skála**  
első leírása  
**Pierre Vernier**  
(1580-1637)  
francia  
matematikus  
1631-ben kiadott  
munkájában  
található.





1. ábra

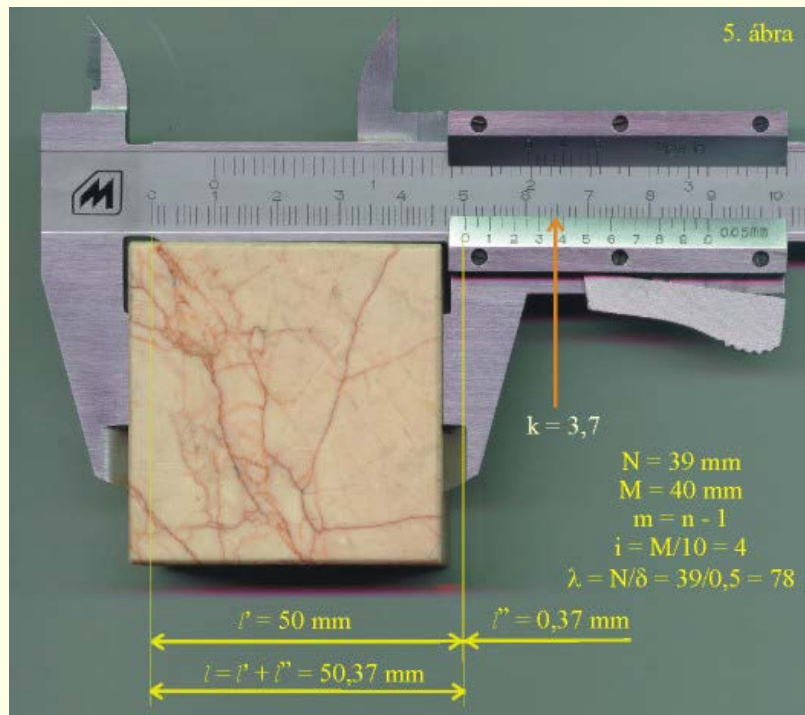


A tolómércén a **nóniusz-skála** beosztásainak száma  $n = 10$  egység, és a nóniusz-skála **hossza**  $N$ , az ábrán a főskálán leolvasva  **$N = 39 \text{ mm}$** .

A nóniusz-skála hosszának ( $M$ ) jellemzője, hogy  $1 \text{ mm}$ -rel rövidebb, mint a **főskála** hozzá tartozó  **$M$  hossza**, amiből  **$M = N + 1 = 39 + 1 = 40 \text{ mm}$** , illetve  **$M - N = 1 \text{ mm}$** .

**Keressük meg a nóniusz-skálán azt a  $k$  beosztást**, amelyik a főskála valamelyik beosztásával legjobban egybeesik, **olvassuk le és jegyezzük fel.**





$$\lambda'' = x - y \quad \frac{x}{y} = \frac{M}{N} \quad y = x \cdot \frac{N}{M} \quad \lambda'' [\text{mm}]$$

$$\lambda'' = x - x \cdot \frac{N}{M} = x \cdot \left(1 - \frac{N}{M}\right) \quad \frac{k}{n} = \frac{x}{M} \quad x = k \cdot \frac{M}{n}$$

$$\lambda'' = k \cdot \frac{M}{n} - k \cdot \frac{M}{n} \cdot \frac{N}{M} = k \cdot \frac{M}{n} - k \cdot \frac{N}{n} = \frac{k}{n} \cdot (M + 1 - N) = \frac{k}{10}$$

MEGJELENIK ÉVENTE NÉGYSZER:  
február, május, augusztus és novemb. hónap

# A MÉRTÉKJELZŐ

SZERKESZTI ÉS KIADJA:

## KLEIN JÓZSEF

LÁTSZERÉSZETI INTÉZETE

MÉRŐESZKÖZÖK ÉS JELZŐKÉSZÜLÉKEK

NAGYBANI RAKTÁRA

BUDAPEST, VI. VÁCZI-KÖRUT 7. SZÁM.

TELEFON 66-24

### PREISLISTE

FÜR

MESS- UND MARKIERWERKZEUGE

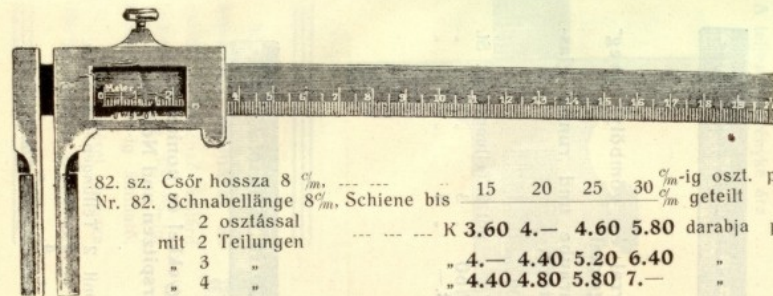
EN GROS NIEDERLAGE VON

## JOSEF KLEIN

OPTISCHE INDUSTRIE-ANSTALT

BUDAPEST, VI. VÁCZI-KÖRUT Nr. 7.

PANDORA, BUDAPEST



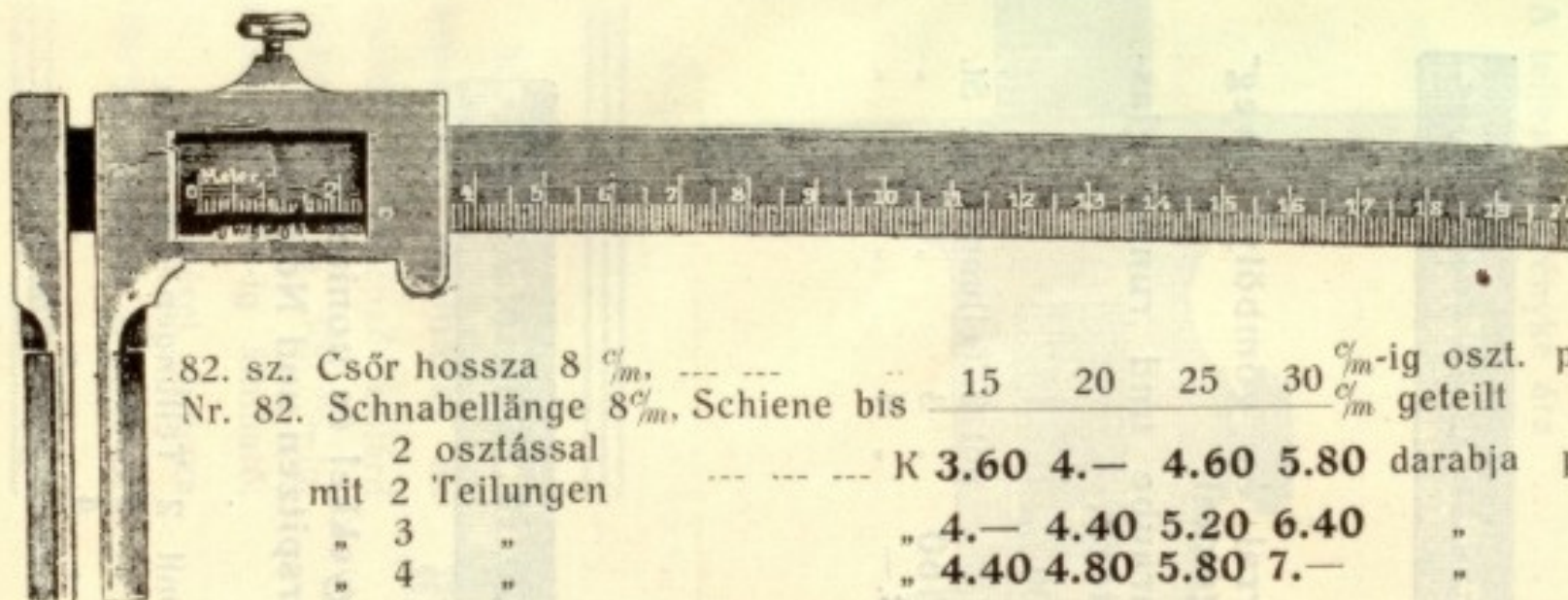
82. sz. Csőr hossza 8 $\frac{1}{10}$ mm.	15	20	25	30 $\frac{1}{10}$ mm-ig oszt. pánttal	
Nr. 82. Schnabellänge 8 $\frac{1}{10}$ mm, Schiene bis				$\frac{1}{10}$ mm-ig oszt. pánttal	
2 osztással	K 3.60	4.—	4.60	5.80	darabja pr. St.
mit 2 Teilungen					
" 3 "	" 4.—	4.40	5.20	6.40	" "
" 4 "	" 4.40	4.80	5.80	7.—	" "

Nr. 82 A. sz.	Nonius $\frac{1}{10}$ mm. osztással	darabja				fill. drágább
Mit Nonius $\frac{1}{10}$ mm-Teilung	kostet das Stück	K	—	.80		mehr
10 $\frac{1}{10}$ mm hosszú csőrrel	darabja			—	.60	fill. drágább
mit 10 $\frac{1}{10}$ mm langen Schnabel	kostet das Stück			"		mehr
abgesetzt csőrrel, mint a 82. F. ábra				—	.60	fill. drágább
mit abgesetzten Schnabel wie Figur 82 F.				"		mehr.
Nr. 82 B. sz.	Csak 4 $\frac{1}{10}$ mm hosszú csőrrel és 10 $\frac{1}{10}$ mm hosszú pánttal,	darabja	K	3.—		
	Hat nur 4 $\frac{1}{10}$ mm langen Schnabel, Schiene 10 $\frac{1}{10}$ mm lang	kostet pr. St.	"			
Nikkelezés cm.-ként 5 fillér. — Vernickelung per Centimeter 5 Heller.						

A német nyelvű szöveg,  
az üzlet utca-címének neve és  
a koronában kifejezett árak  
arra engednek következtetni,  
hogy *Klein József* katalógusa  
az Osztrák-Magyar  
Monarchia idejéből,  
az 1916 előtti évekből való.

VI. Váci-körút ma:  
VI. Bajcsy-Zsilinszky út





82. sz. Csőr hossza	8 $\frac{c}{m}$	15	20	25	30 $\frac{c}{m}$ -ig oszt. pánttal
Nr. 82. Schnabellänge	8 $\frac{c}{m}$ , Schiene bis	$\frac{c}{m}$ geteilt			
2 osztással		K 3.60	4.—	4.60	5.80 darabja pr. St.
mit 2 Teilungen					
" 3 "		" 4.—	4.40	5.20	6.40 " "
" 4 "		" 4.40	4.80	5.80	7.— " "

Nr. 82 A. sz.	Noniussal $\frac{1}{10}$ mm. osztással darabja				fill. drágább
	Mit Nonius $\frac{1}{10}$ -mm-Teilung kostet das Stück	K	—	.80	mehr
	10 $\frac{c}{m}$ hosszú csőrrel darabja				fill. drágább
	mit 10 $\frac{c}{m}$ langen Schnabel kostet das Stück	"	—	.60	mehr
	abgesetzt csőrrel, mint a 82. F. ábra				fill. drágább.
	mit abgesetzten Schnabel wie Figur 82 F.	"	—	.60	mehr.

Nr. 82 B. sz.	Csak 4 $\frac{c}{m}$ hosszú csőrrel és 10 $\frac{c}{m}$ hosszú pánttal, darabja	K	3.—
	Hat nur 4 $\frac{c}{m}$ langen Schnabel, Schiene 10 $\frac{c}{m}$ lang kostet pr. St.	"	

**Nikkelezés cm.-ként 5 fillér. — Vernickelung per Centimeter 5 Heller.**

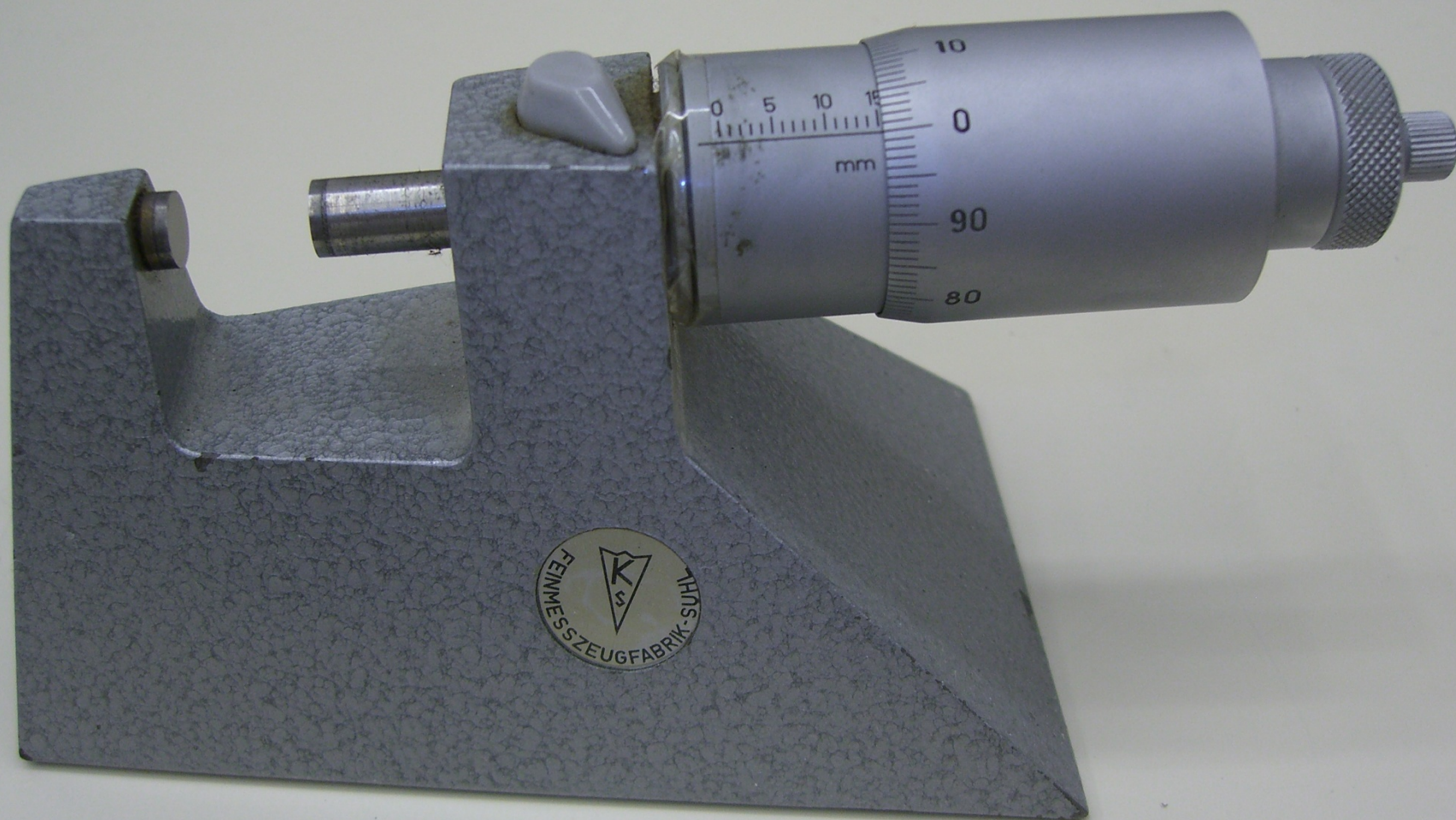


# Mikrométer csavaros vastagságmérő



2007/9/11 17:07



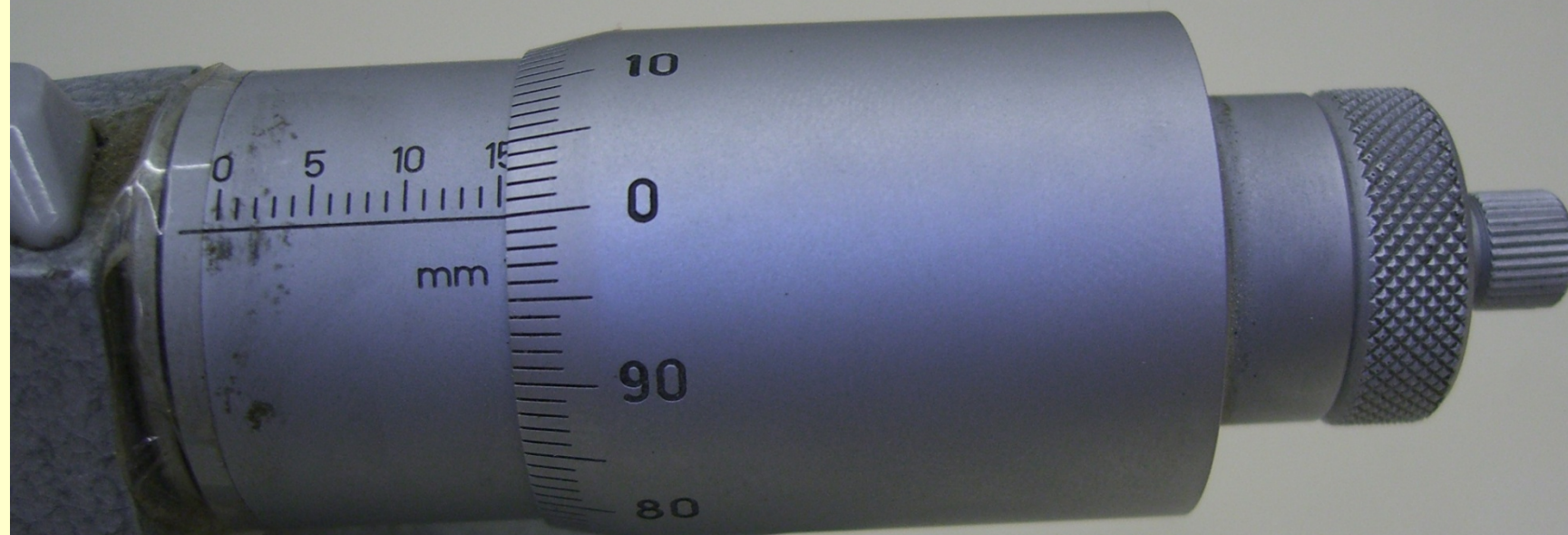


**Mikrométer csavaros vastagságmérő**

2007/9/11 17:05

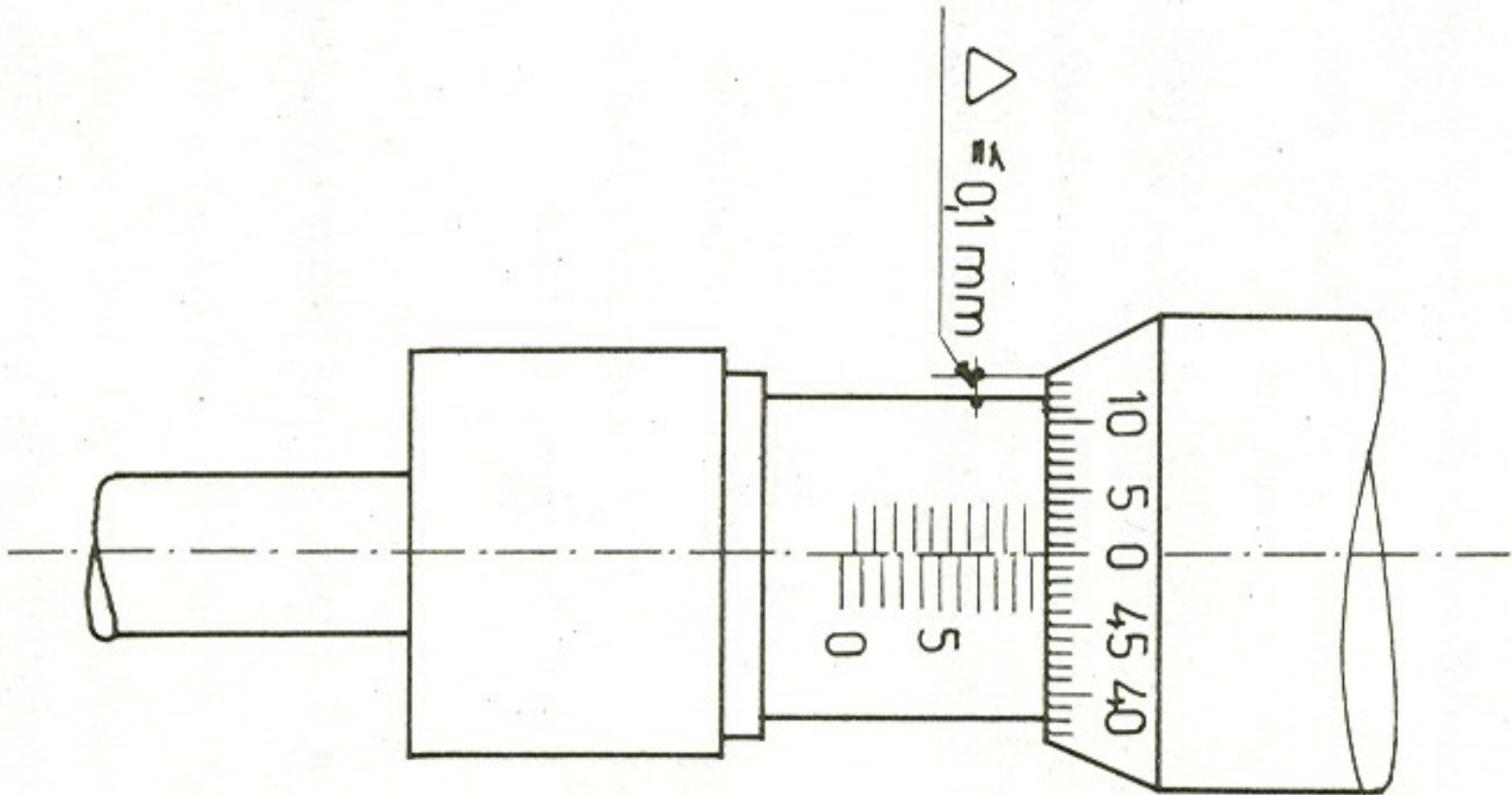


# Mikrométer csavar



2007/9/11 17:05



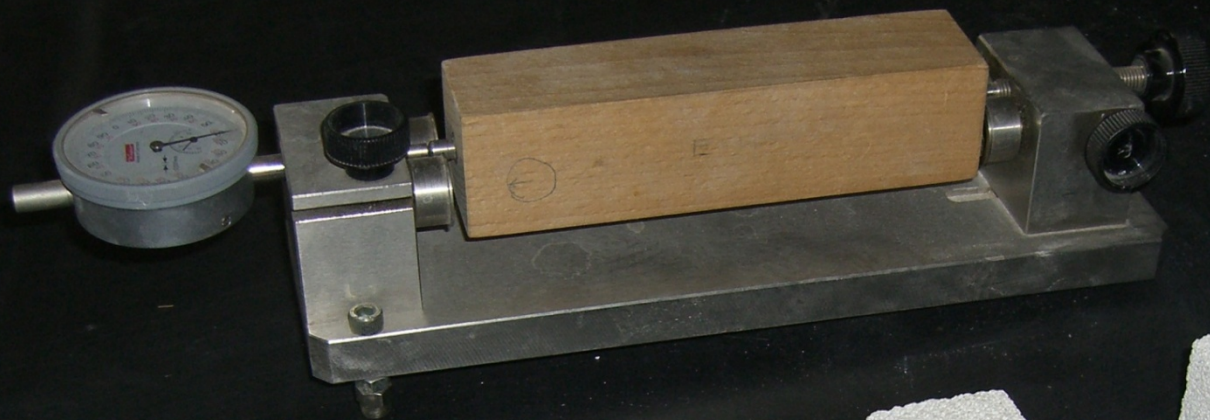


**Mikrométer leolvasóberendezés**

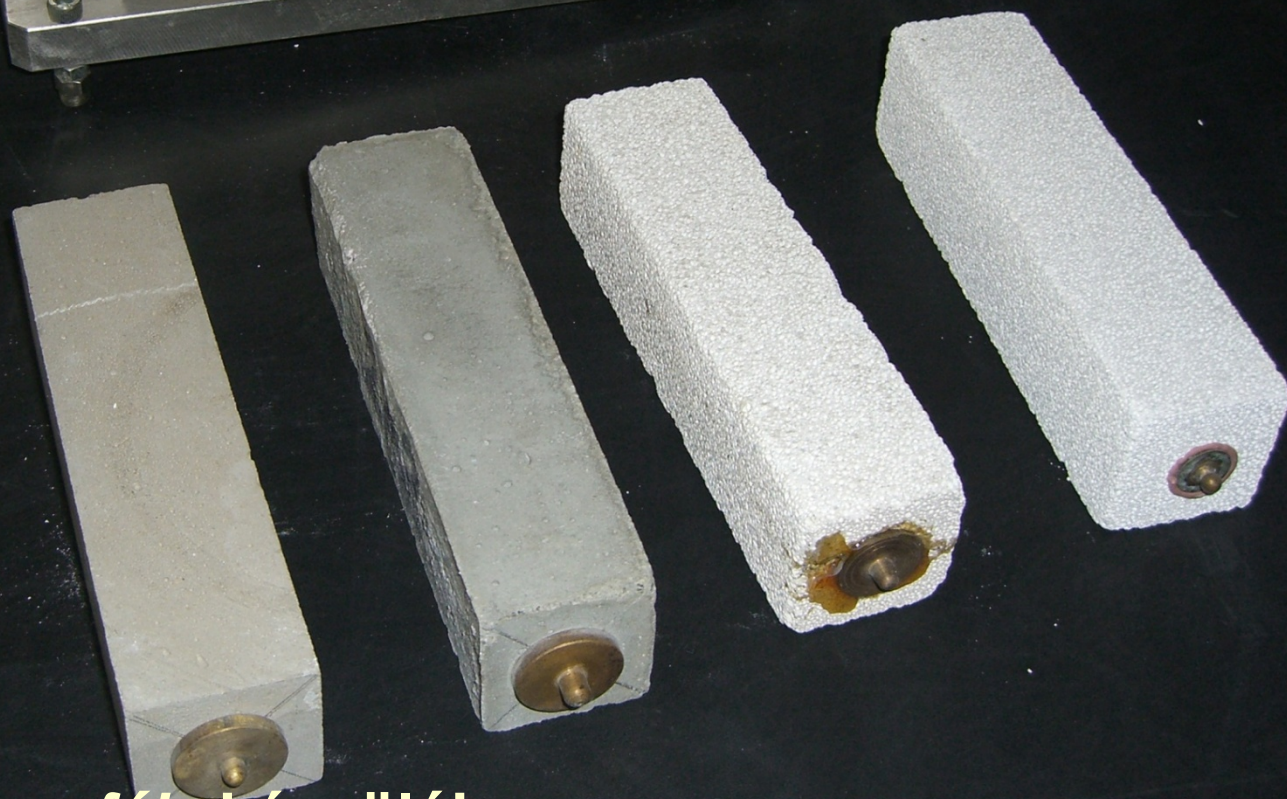


Indikátor óra (mérőóra)





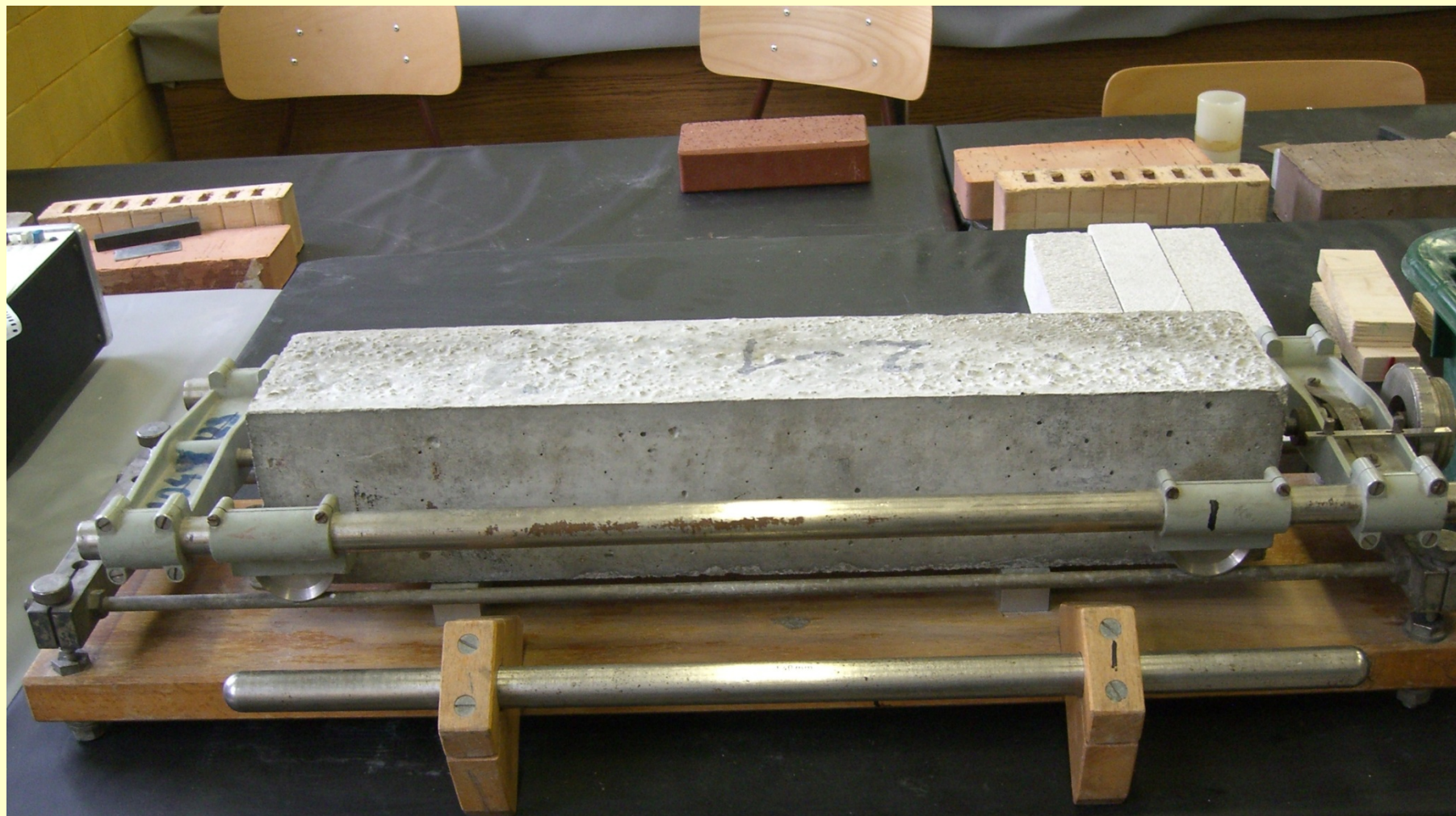
A hasábok  
mérete:  
 $40 \times 40 \times 160$  mm



**Graf – Kaufmann-féle készülék**  
**[Otto Graf (1881-1956) német professzor]**

2007/9/7 11:53





**Amsler-Wetzlar-féle zsugorodás mérő készülék**  
(Alfred J. Amsler, 1857-1940, svájci gépészmérnök)

2007/9/10 10:50





Amsler-Wetzlar-féle zsugorodás mérő készülék





Amsler-Wetzlar-féle zsugorodás mérő készülék

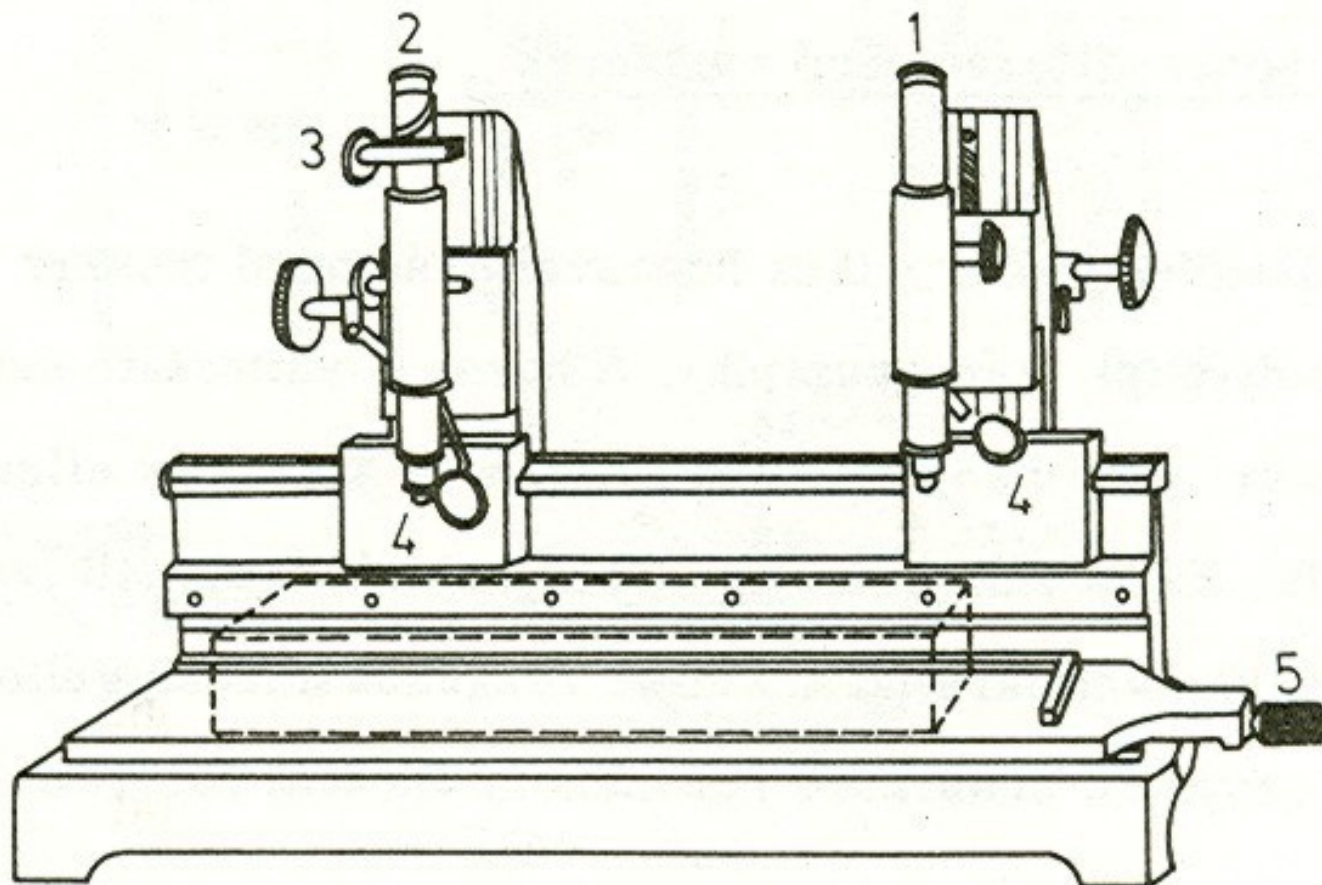
2007/9/10 10:53



100×100×515 mm méretű  
betonhasáb *Amsler-Wetzlar*-féle  
Zsugorodás mérő készülékhez



$$\varepsilon^{\%0} = \frac{L_0 - L_t}{515} \cdot 1000$$

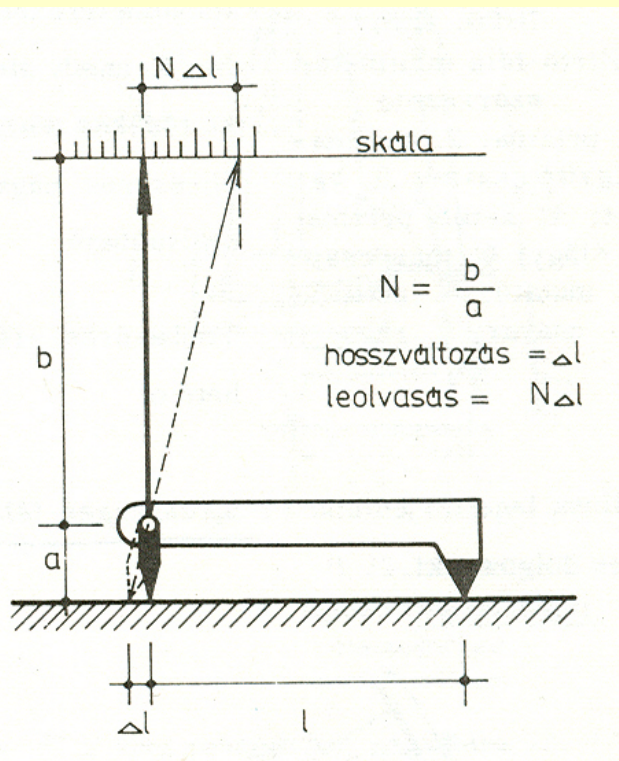


II/34. ábra

Leitz féle betonkomparátor

1. célzó mikroszkóp; 2. mérőmikroszkóp; 3. okulár-  
mikrométer állítócsavarja; 4. fényvezető-tükrök;  
5. próbatest beállító szán csavarja





## Huggenberger tenzométer

Forrás: Weiss György: Építőipari Laboratóriumi Méréstechnika és

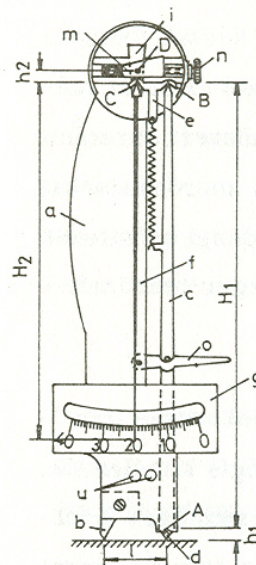
Műszerismeret. I. kötet.

ÉMI 22. számú kiadványa.

Építésügyi Tájékoztatási Központ. Budapest, 1974.

Dr. Weiss György (szül.: 1904)

okl. építőmérnök  
az ÉMI kutatója volt.



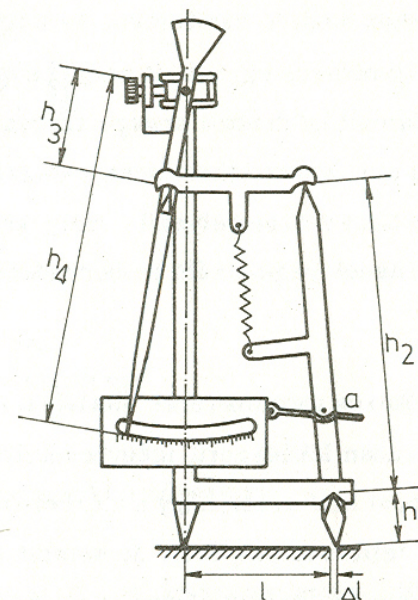
II/23. ábra

"A" típusu Huggenberger tenzométer

a) műszerváza, fix; b) mérőcsuccsal; c) fő mérőkar d) kétoldali ékkel A-nál ágyazva; e) közvetítő kengyel; f) mutatókar; i) ellensúly, az m) szárban D-nél ágyazva; g) tükrőskála; n) mutatóbeállítócsavar; o) arketálókar

$$N = \frac{h_2}{h_1} \frac{h_4}{h_3}$$

## Mutatóval ellátott műszerek



II/22. ábra

"B" típus Huggenberger tenzométer

Az "A" és "B" típusu tenzométer nagyítása kb. 1200-szoros. A műszer bázisa (l) 20 mm, de megfelelő toldatokkal 500 mm-ig különböző méretre növelhető és 10 mm-re csökkenthető. A 40 mm hosszú skála mérési tartománya:

$$\Delta l = \frac{40 \text{ mm}}{1200} = 0,033 \text{ mm} = 33,3 \text{ } \mu\text{m}.$$



Shop by  
category ▾

Search...

All C

[Back to Store](#) | Listed in category: [Business, Office & Industrial](#) > [Industrial Tools](#) > [Engineering Tools](#)

Mouse over image to zoom



## Huggenberger Tenso Strain Gauges

Item condition: **Used**

"The gauges are in 'fair' condition with the indicators made from a soft metal that is prone to " ... [Read more](#)

Time left: 19d 11h 10/16, 7:52AM

Price: **GBP 110.00**  
Approximately 46,959.63 HUF**Buy It Now**[Add to watch list](#)[Add to collection](#)**Zero**  
Customs charges**Longtime**  
MemberShipping: **Does not ship to Hungary** | [See details](#)

Item location: Guildford, United Kingdom

Ships to: Asia, United States, European Union, Canada [See exclusions](#)Delivery: **Varies**Payments: **PayPal** |      
Processed by PayPalReturns: 14 days, buyer pays return shipping | [See details](#)Guarantee: **ebay** MONEY BACK GUARANTEE | [See details](#)

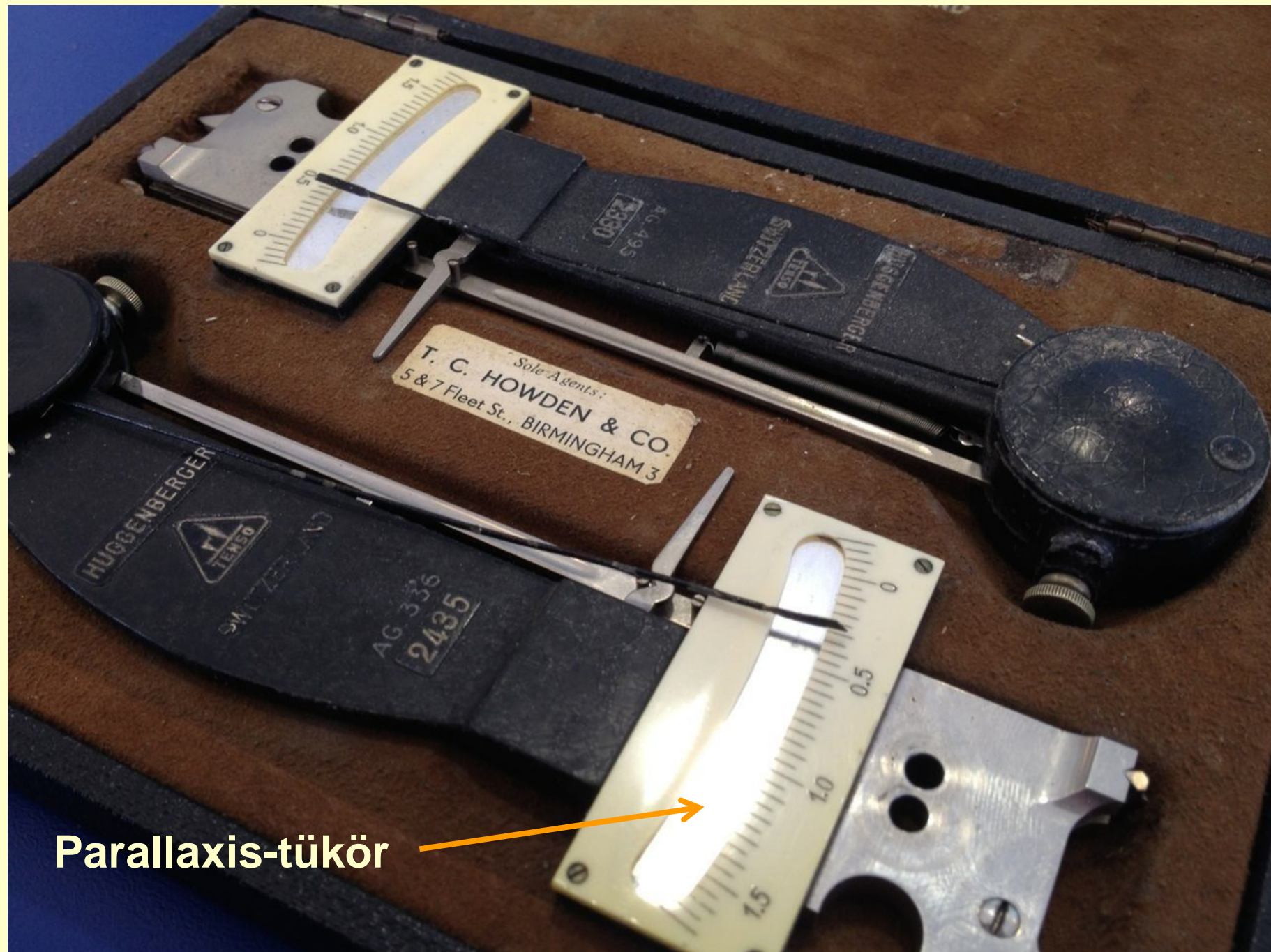
Get the item you ordered or get your money back.  
Covers your purchase price and original shipping.



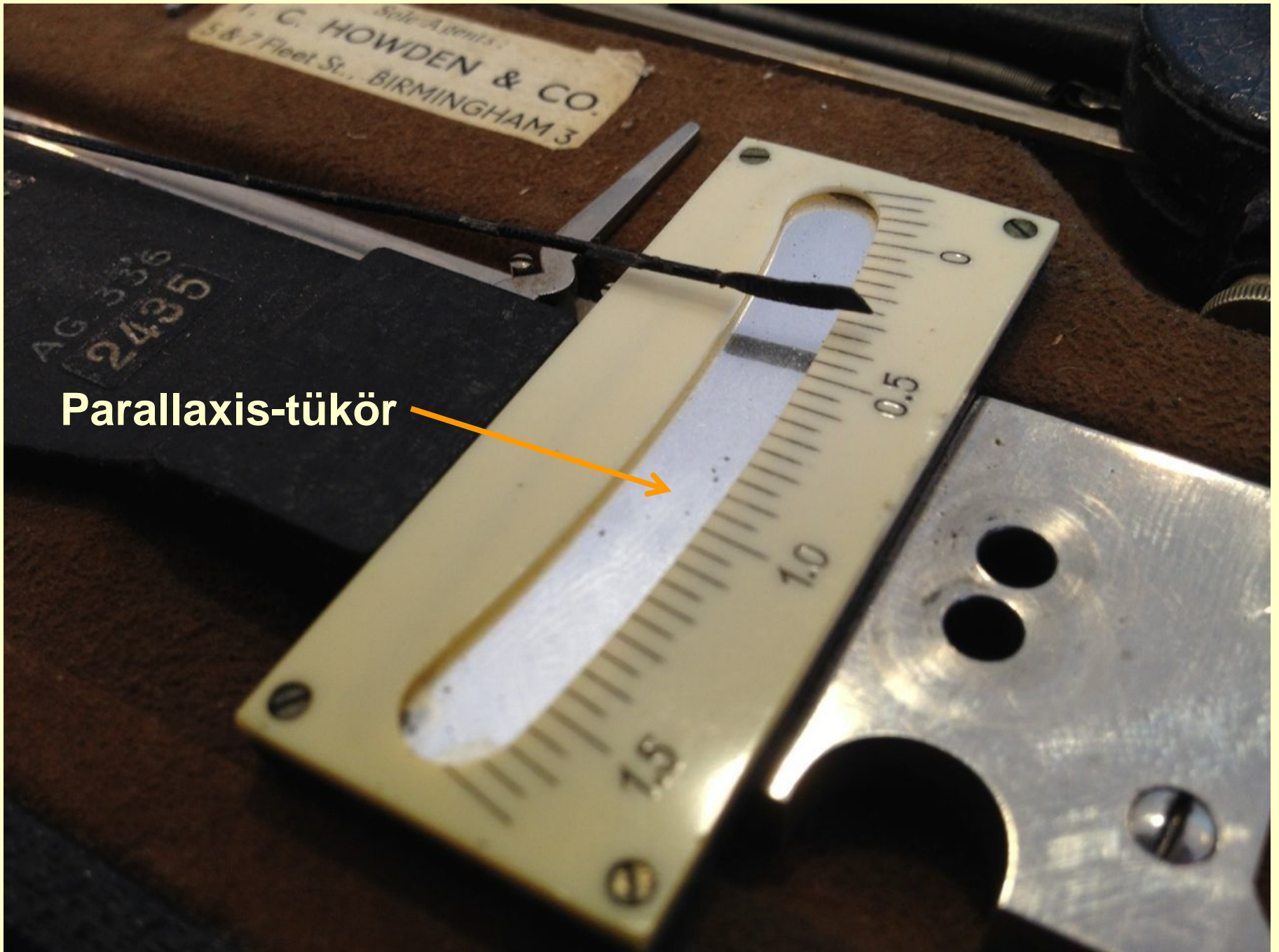
***Huggenberger***  
svájci mérnök által  
**1900**-ban alapított gyár  
**Huggenberger AG.**  
néven ma is működik.







Parallaxis-tükör



**Parallaxis-tükör**



Sole Agents:  
**T. C. HOWDEN & CO.**  
5 & 7 Fleet St., BIRMINGHAM 3

HUGGENBERGER



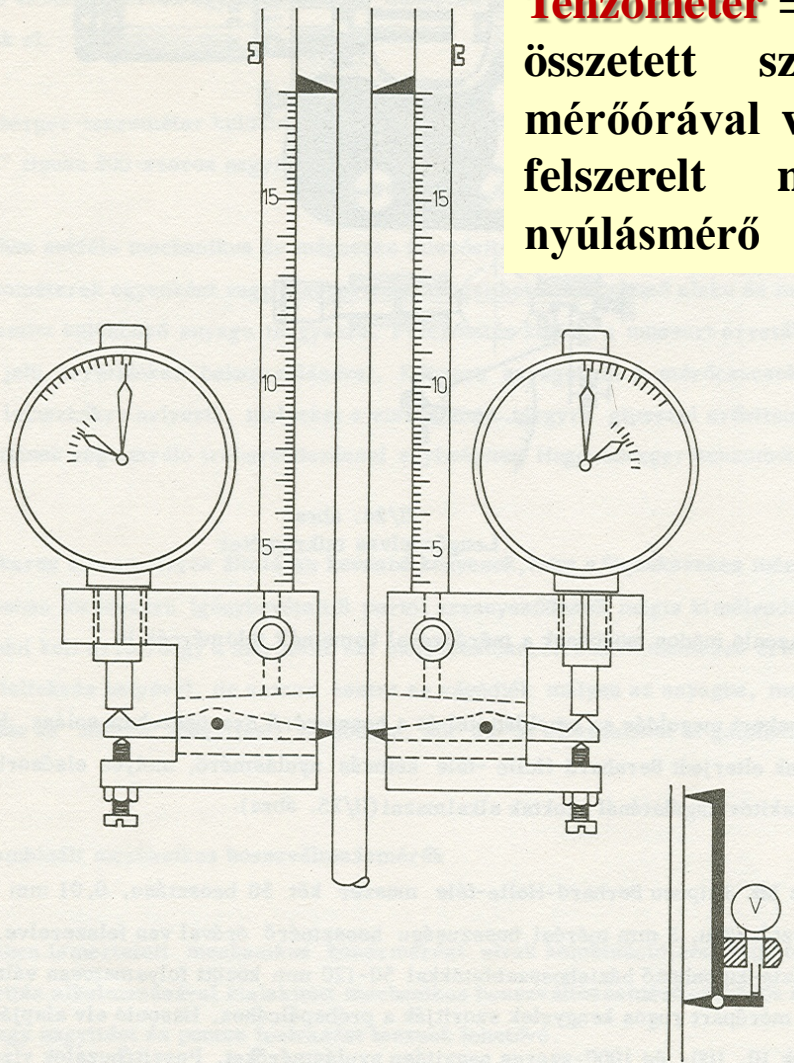
SMITH PERL W

AG 336

2435



**Tenzométer** = (latin + görög összetett szó), jelentése: mérőórával vagy mutatóval felszerelt nagypontosságú nyúlásmérő



II/25. ábra  
Kétórás nyúlásmérő

Acél próbatest nyúlásának mérése húzóerő hatására tenzométerrel  $\sigma$ - $\varepsilon$  diagram felvételéhez

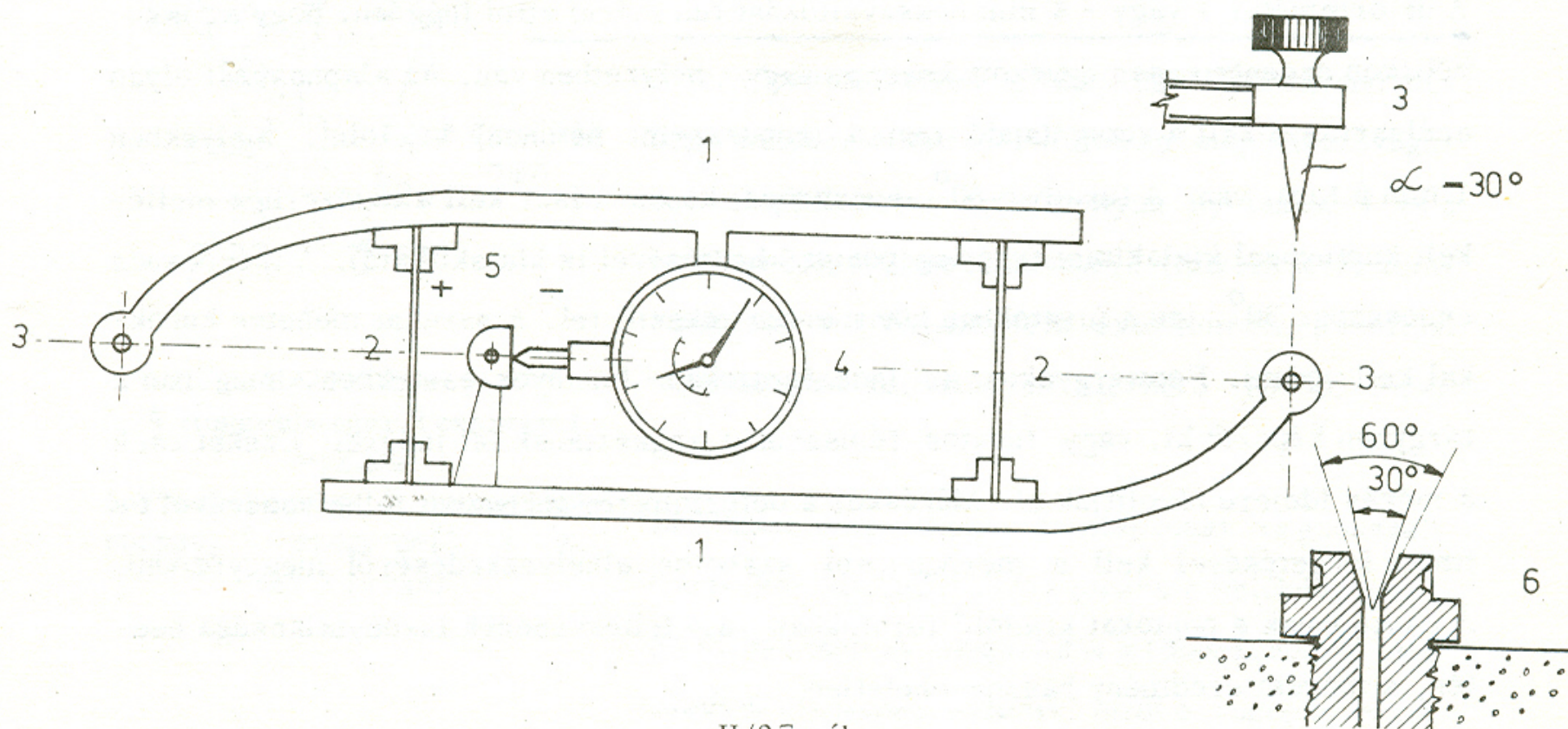


**Nem spontán alakváltozás!**

...hőmérséklet-változás hatására

**Spontán alakváltozás!**





II/27. ábra

Huggenberger-féle deformméter vázlata

1. invár-rud; 2. acél lemezrugó; 3. mérőcsucs; 4. indikátor óra; 5. ütközőbak excentrikusan ágyazott ütközővel; 6. saru



## DEFORMETER DUII / EDUII

### ANWENDUNG

Das Deformeter ist ein Präzisions-Dehnungsmessgerät für den Maschinen-, Tief- und Hochbau, sowie für geophysikalische Anwendungen.

Das Deformeter dient zur statischen Messung von Dehnungen, Verschiebungen und Änderungen von Rissweiten.

© HUGGENBERGER AG 2005



*Deformeter EDU*



*Invarprüfstab*



*Körnerstab*



*Ersatzkörnerspitzen*

**Huggenberger Deformmeter  
Forrás:**

[http://www.huggenberger.com/fileadmin/user\\_upload/pdf\\_D/E/Huggenberger DU-EDU\\_de.pdf](http://www.huggenberger.com/fileadmin/user_upload/pdf_D/E/Huggenberger_DU-EDU_de.pdf)

### TECHNISCHE DATEN

Typ	DUII250/10	DUII500/10	EDUII250/10	EDUII500/10
Messbasis*	250mm	500mm	250mm	500mm
Ablesung	Analog (mechanische Messuhr)		Digital (digitale Messuhr)	
Messbereich	10mm (+/-5mm)			
Auflösung	0.01mm		0.001mm	
Genauigkeit	0.03mm	0.04mm	0.005mm	



*Huggenberger –féle deformméter*  
Az ELE International (Egyesült Királyság, Bedfordshire)  
gyártmánya





*Demec* készülék

$L_0 = 200,66 \text{ mm}$



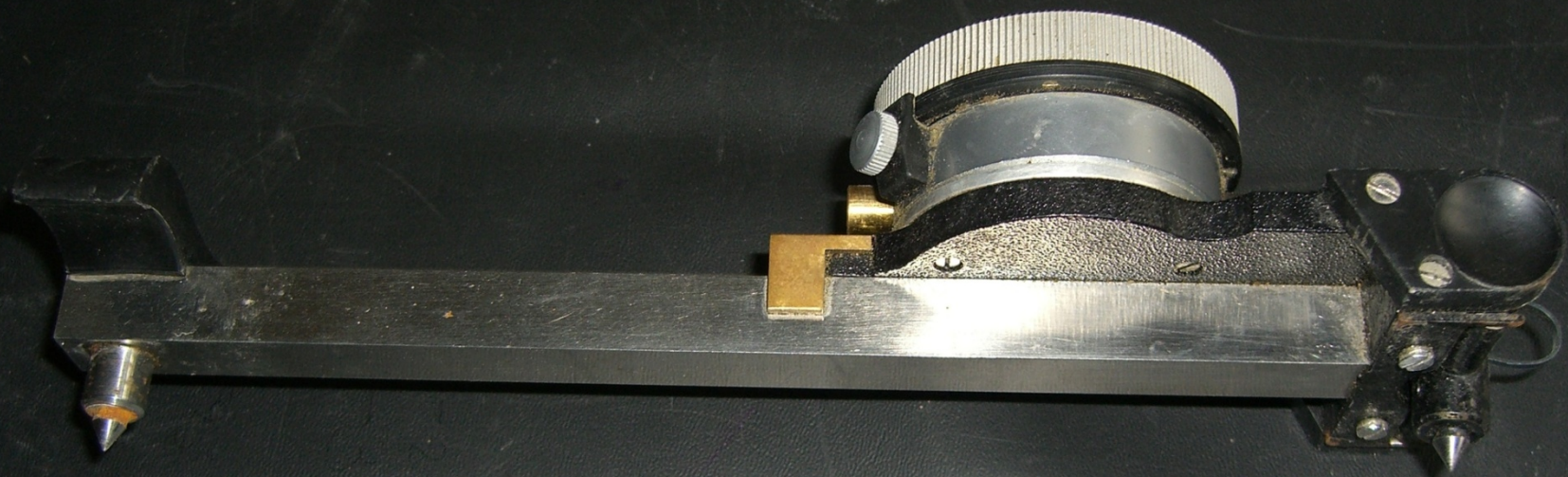
**DEMEC** = **D**emountable **M**echanical Strain Gauge =  
= Hordozható mechanikus *tenzométer*

A DEMEC készüléket a BCCA - British Cement and  
Concrete Association fejlesztette ki.

2007/9/7 12:11



**Demec készülék**  
 **$L_0 = 200,66 \text{ mm}$**



2007/9/7 12:12



**Demec készülék**

**$L_0 = 200,66 \text{ mm}$**



2007/9/7 12:16





**Demec készülék**  
 **$L_0 = 200,66 \text{ mm}$**

2007/9/7 12:17



**Demec készülék**

**$L_0 = 200,66 \text{ mm}$**



2007/9/7 12:09





## TELETENSOMETER TTP

### Anwendung

Teletensometer TTP dienen zur Messung von Fugen-, Riss- und Felsbewegungen sowie Stangen-Extensometer-Bewegungen oder um lineare Verschiebungen in Erddämmen, an Hängen, Felsen oder an Druckleitungen etc. zu messen.

### Beschreibung

Das Teletensometer **TTP50** ist ein elektrischer Weggeber mit 50 mm Messweg. Je nach Applikation ist verschiedenes Zubehör wie Befestigungen, Biegeelemente usw. erhältlich.

Variante: TTP50F mit vorgespanntem Federtaster.



Typ TTP50...



... zur Messung von Fugen-, Riss- oder Felsbewegungen sowie Stangen-Extensometer-Bewegungen



Typ TTP300...

Das Teletensometer **TTP300** besteht aus einem elektrischen Weggeber mit 300 mm Messweg (eingebaut in einem robusten, wasserdichten Gehäuse), sowie Verlängerungsstan-



## TELEJOINTMETER TJM

### Anwendung

Das Telejointmeter TJM ist ein Messsystem mit elektrischen Weggebern zur Überwachung der Bewegung von Fugen und Rissen in Fels, Beton, Mauerwerk und an Stahlbauten. Die Bewegungen können je nach Typ des Telejointmeters in 1 bis 3 Dimensionen gemessen werden.

### Beschreibung

Das Telejointmeter besteht aus einem Fixpunkt und einer Halterung, an welcher der Weggeber befestigt ist. Die Halterung und der Fixpunkt werden je auf einer Seite der zu messenden Fuge mittels einer temporären Setzlehre einzementiert.

Die Bewegungen können mit einem portablen Messgerät Indipoc oder einem automatischen Datenerfassungssystem Huggenberger Tensologger TL gemessen werden.



Typ TJM1DS für die 1-dimensionale Überwachung von Fugen und Rissen



Typ TJM3DS für die 3-dimensionale Überwachung von Fugen und Rissen



# Nyúlásmérő bélyeg



2007/9/11 17:02



## ZSUGORODÁS

A szilárduló beton a **hidratáció**, a **száradás** és **egyéb belső átalakulások** hatására zsugorodik. Ha a zsugorodás ébresztette húzófeszültség eléri a kötés és szilárdulás folyamatában lévő beton húzószilárdságát, akkor a beton megreped.

A zsugorodás fajtái a következők:

Korai vagy kapilláris vagy képlékeny zsugorodás a beton friss, képlékeny állapotában lép fel, és létrehozza a kapillárisokat. A bedolgozott friss beton az első rövid idő alatt általában duzzad, de amikor a felületéről a vízfilm eltűnik, elkezd zsugorodni. A korai zsugorodás gyors, rövid folyamat, a kötési idő végén (ez általában nem több, mint 8 óra) véget ér. A keletkező repedések felületi hajszálrepedések, tágasságuk 1 - 2 mm-t is elérhet, kedvezőtlen klimatikus viszonyok közepette összértékük 4 mm/m is lehet, de mélységük csekély, a megszikkadó felületi zónára korlátozódik. (A felület közeli tartományban húzások lépnek fel, míg a keresztmetszet belseje nyomás alatt áll.)



**Száradási zsugorodás** a kötés végén, a szilárdulás kezdetén indul, és **egy évig is eltarthat**, tehát egy **lassú folyamat, amely végértékhez tart**. Ezalatt a cementkő pórusai kiszáradnak, a teljesen kiszáradt beton nem zsugorodik tovább.

**MSZ EN 1992-1-1:2010 Eurocode 2 szabvány 3.2. táblázata: A gátolatlan száradási zsugorodás  $\varepsilon_{cd,0}$  [‰] értékei N osztályú cementtel készült betonok esetén**

$f_{ck}/f_{ck,cube}$ [MPa]	Relatív páratartalom [%]					
	20	40	60	80	90	100
<b>20/25</b>	0,62	0,58	0,49	0,30	0,17	0,00
<b>40/50</b>	0,48	0,46	0,38	0,24	0,13	0,00
<b>60/75</b>	0,38	0,36	0,30	0,19	0,10	0,00
<b>80/95</b>	0,30	0,28	0,24	0,15	0,08	0,00
<b>90/105</b>	0,27	0,25	0,21	0,13	0,07	0,00

Autogén zsugorodásról a kis víz-cement tényezőjű ( $x \leq 0,4$ ) betonok (ezek általában nagyszilárdságú, nagyteljesítő-képességű betonok) esetén beszélünk. Mértéke különösen  $x = 0,3$  körül és jelentős finomrész-tartalom (pl. szilikapor) esetén lehet igen jelentős.

Az autogén zsugorodás a korai zsugorodás idején kezdődik, és átnyúlik a száradási zsugorodás periódusába is.

A hidratáció alatt a fiatal betonban lévő cement annyi vizet elvon a pórusszerkezetből, hogy a beton 70-90 % relatív nedvességtartalom esetén hamar tömegállandósági állapotba kerül. A kis víz-cement tényezőjű beton olyan kevés vízzel készül, hogy a hidratáció folytán erős belső kiszáradás megy végbe, amely számottevő zsugorodással jár.

Az autogén zsugorodás független a szerkezeti elem geometriájától, és a hidratációval, ill. a beton szilárdságával áll lineáris kapcsolatban.

Az  $x = 0,5$  vagy ennél nagyobb víz-cement tényezőjű betonok autogén zsugorodása a száradási zsugorodáshoz képest elhanyagolható.



Kémiai zsugorodás azért lép fel, mert a hidratációs termékek (cementkő) térfogata kisebb, mint a kiindulási cementpép (cement + keverővíz) térfogata. A **hidratáció folyamán tehát térfogatcsökkenés lép fel**, mert a vízmolekulák beépülnek a hidratációs termékbe, azaz **a cement a keverővíz egy részét kémiaailag megköti** (kb. a cement-tartalom 25 tömeg%-át). A víz **másik részéből** pórusvíz képződik (ez folyékony halmazállapotú), **harmadik része pedig elpárolog**.

Karbonátosodási zsugorodás **évekig tartó** folyamat. A beton karbonátosodása során olyan ásványok (kalcium-karbonát) keletkeznek, amelyek **térfogata kisebb**, mint a nem karbonátosodott betoné. A karbonátosodás alatt korábban kötött víz is felszabadul, amelynek elpárolgása a száradási zsugorodást növeli.

A karbonátosodási zsugorodás tehát **kémiai és fizikai** folyamat eredménye.

## **A zsugorodást befolyásoló tényezők:**

- az utókezelés;
- a környezet relatív páratartalma;
- a környezeti hőmérséklet;
- víz-cement tényező;
- a cementtartalom és a cement őrlésfinomsága;
- a finomrész-tartalom és őrlésfinomsága;
- a hidratáció foka;
- a beton kora a száradás kezdetének időpontjához képest;
- az építőelem geometriája.

Felhasznált irodalom:

Sárosi Márton: Analyse der Materialeigenschaften der Betonmischung einer Großvolumigen Bodenplatte, insbesondere ihrer Rissneigung. Diplomamunka. BME 2007.



## **Repedések fajtái**

**Zsugorodási repedések**

**Hőmozgásból eredő repedések**

**Süllyedésből származó repedések**

**Terhelésekből adódó repedések**

## **Repedések formája**

**Nyugvó repedések – Terjedő repedések**

**Átmenő repedések – Egyoldali (felületi) repedések**

**Hossz-, keresztirányú, vízszintes, függőleges repedés**

**Egyes, párhuzamos futású, hálószerű repedések**

## **Repedés tágasság**

**Hajszáltrepedés:  $\leq 0,1$  mm**

**Finomrepedés:  $0,1 - 0,3$  mm**

**Közepes tágasságú repedés:  $0,3 - 0,5$  mm**

**Nagytágasságú repedés:  $0,5 - 1$  mm**

**Széles repedés:  $> 1$  mm**

# MSZ EN 1992-1-1:2010 Eurocode 2 szabvány 7.1.N táblázata:

A  $w_k$  számított **repedéstágasság**  $w_{kmax}$  [mm] **határértékei**

Környezeti osztály	Vasbeton és <u>tapadásmentes</u> feszítőbetéteket tartalmazó feszített vasbeton szerkezeti elemek	<u>Tapadásos</u> feszítőbetéteket tartalmazó <u>feszített</u> vasbeton szerkezeti elemek
	Kvázi-állandó hatáskombináció	Gyakori hatáskombináció
X0, XC1	0,4 <sup>1</sup>	0,2
XC2, XC3, XC4	0,3	0,2 <sup>2</sup>
XD1, XD2, XS1, XS2, XS3		dekompreszió
<p>1. MEGJEGYZÉS: X0 és XC1 környezeti osztályok esetén a repedéstágasság nem befolyásolja a tartósságot, ezért ez a határérték általában elfogadható megjelenést eredményez. A megjelenésre vonatkozó feltételek hiányában ez a korlát enyhíthető.</p> <p>2. MEGJEGYZÉS: E környezeti osztályok esetén kiegészítésként általában a dekompressziós állapot meglétét is ellenőrizni kell a terhek kváziállandó kombinációjának a hatására.</p> <p>A dekompressziós feltétel azt jelenti, hogy a tapadásos feszítőbetétek vagy azok kábelcsatornáinak teljes egésze legalább 25 mm mélységben nyomott betonba vannak ágyazva.</p>		

43



# Zsugorodási repedések











**Két végén befogott acélpálca kihajlása  
hőmérséklet-emelkedés hatására**







**Két végén befogott acélpálca kihajlása  
hőmérséklet-emelkedés hatására  
(Dr. Simon K. Tamás tanár úr kísérlete)**





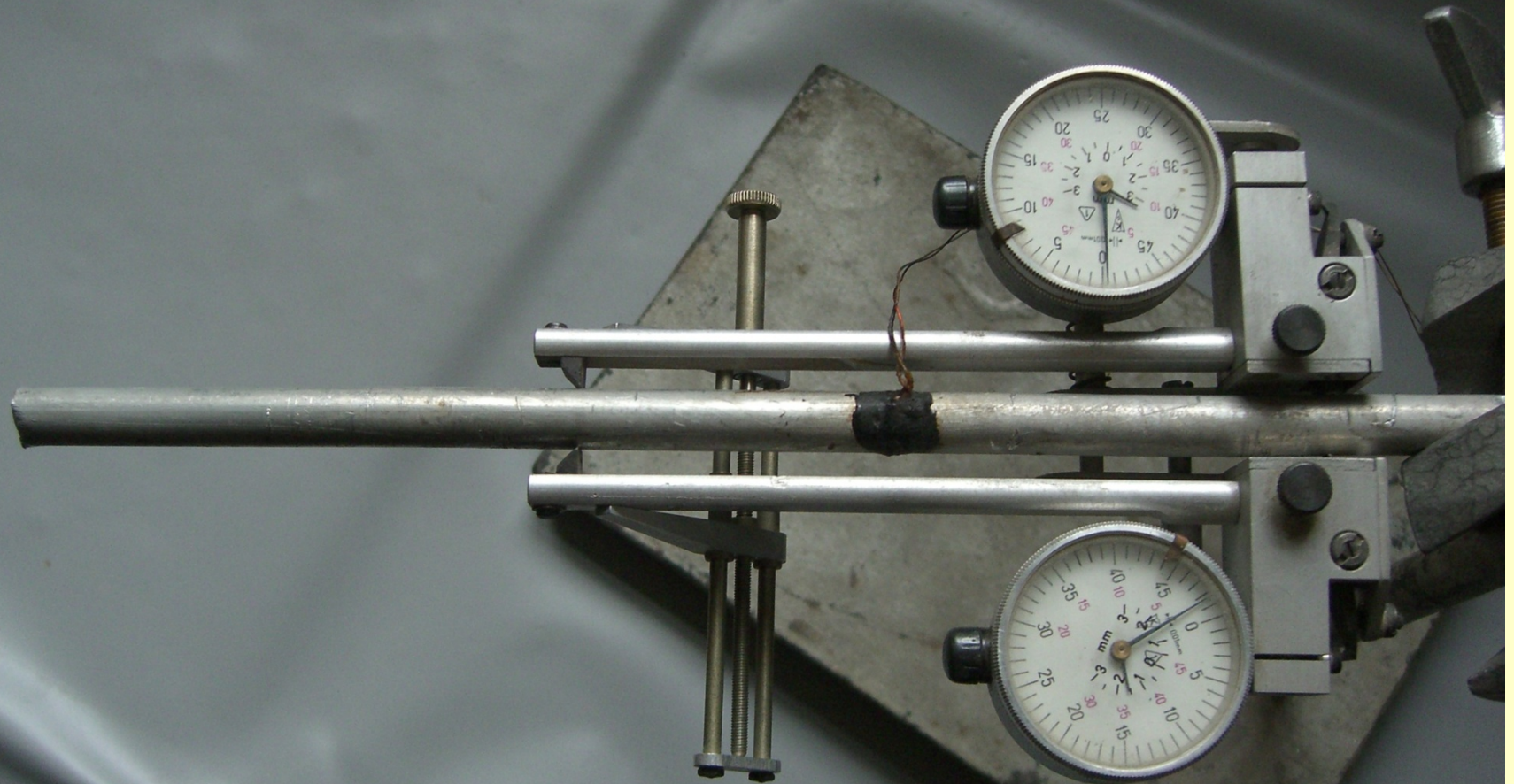


2007/9/7 11:55

Alumíniumrúd lineáris hőtágulásnak meghatározása



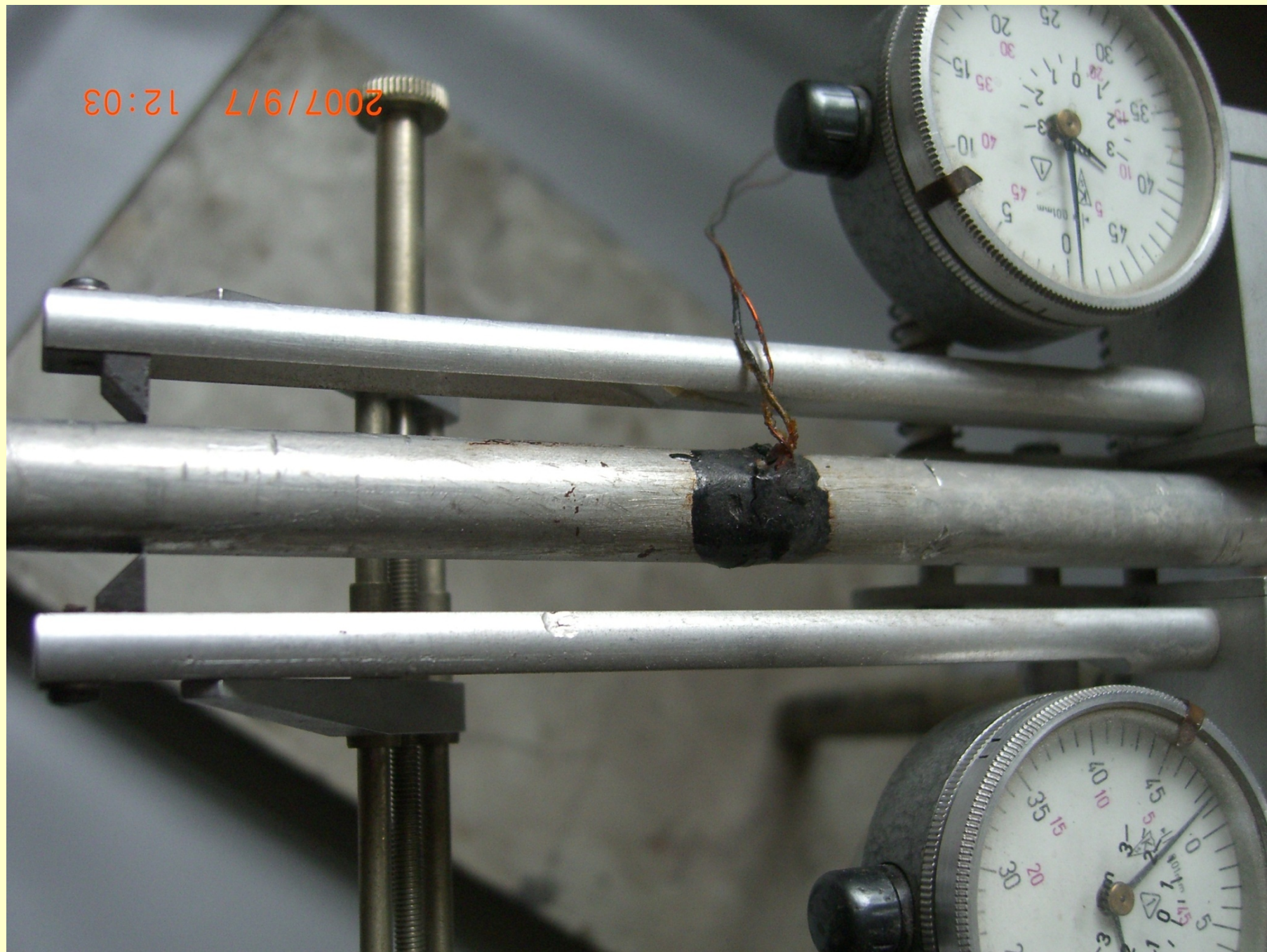
<http://www.betonopus.hu/notesz/kutyanyelv/hotagulas.pdf>



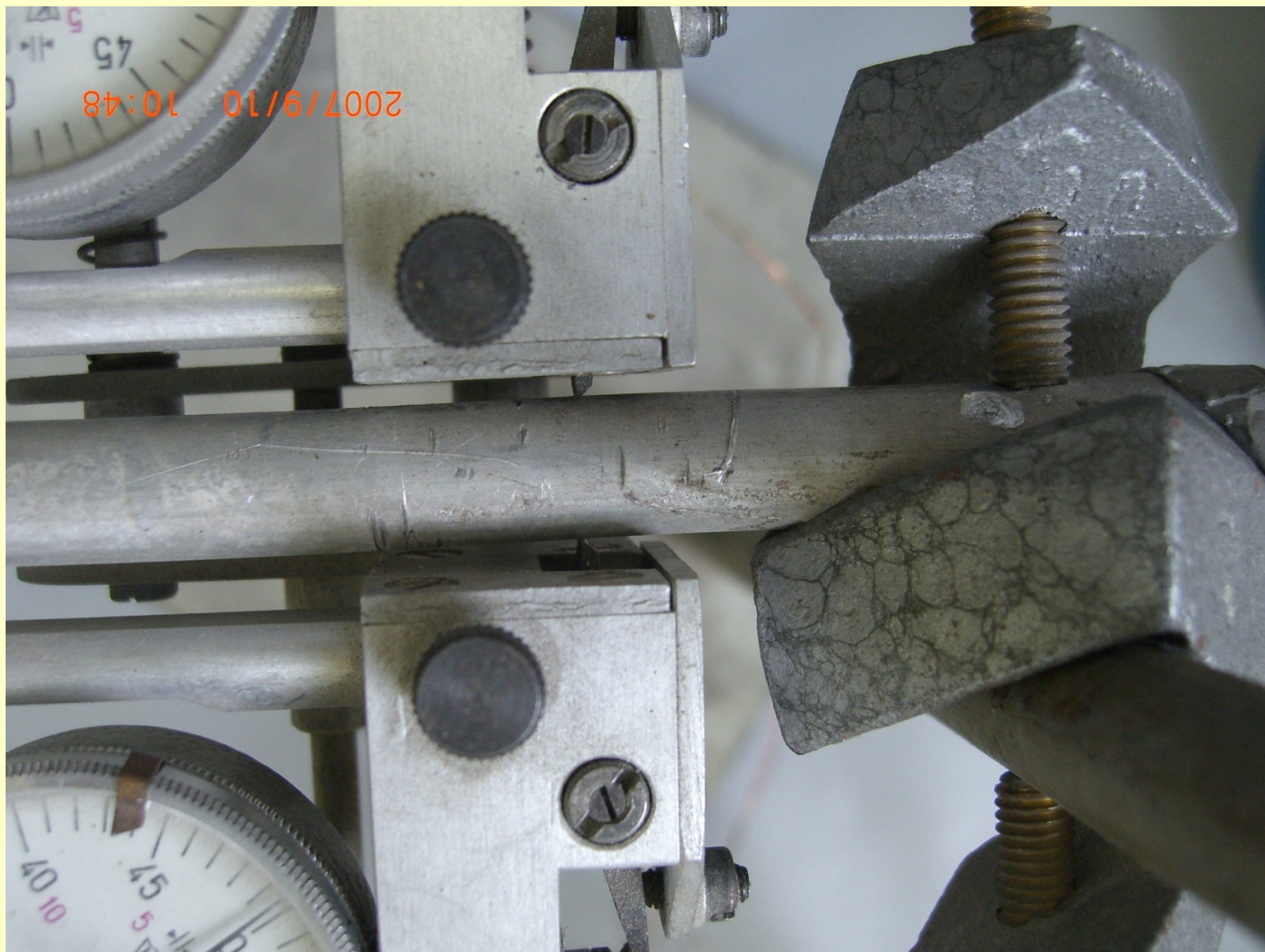
2007/9/7 12:02



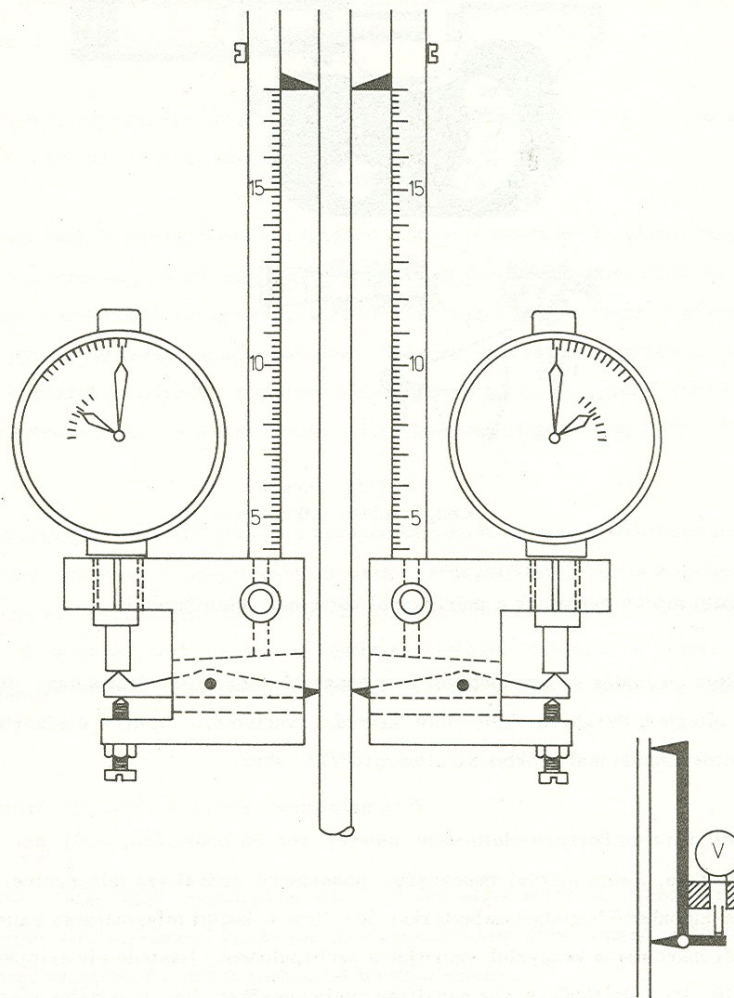
2007/9/7 12:03











II/25. ábra  
Kétórás nyulásmérő

A hazai gyártású Huszár-féle (MMG) emelőáttételes indikátorórás nyulásmérő II/26. ábra) cserélhető közdarabokkal különböző (10) 25, 50, és 100 mm alaphosszal, cserélhető indikátorórákkal és változtatható 1/4 és 1/5-ös karáttétellel rendelkezik.

**Az általunk használt nyulásmérő mérési alaphossza: 120 mm**

**A 10 mm átmérőjű alumínium rúd  
hőtágulásának mérése L=120 mm alaphosszon,  
indikátor órák és termoelem alkalmazásával**

Lineáris hőtágulás:

$$\Delta l = \alpha * L * \Delta T$$

Idő perc	Indikátor óra leolvasás, mm			ε ‰	Hőmérséklet növekedés, °C
	bal	jobb	Δl, átlag		
0,0	0,000	0,000	0,000	0,000	0
0,5	0,000	0,000	0,000	0,000	1
1,0	0,020	0,010	0,015	0,125	9
1,5	0,070	0,025	0,048	0,396	23
2,0	0,110	0,065	0,088	0,729	42
2,5	0,155	0,103	0,129	1,075	58
3,0	0,190	0,130	0,160	1,333	73
3,5	0,215	0,160	0,188	1,563	84
4,0	0,245	0,190	0,218	1,813	97
4,5	0,275	0,215	0,245	2,042	108
5,0	0,295	0,235	0,265	2,208	117
5,5	0,310	0,250	0,280	2,333	124
6,0	0,320	0,260	0,290	2,417	131

$$\frac{\Delta l}{L} = \varepsilon = \frac{\varepsilon \text{ ‰}}{1000} = \alpha * \Delta T$$

Lineáris hőtágulási együttható,  
1/°C:

$$\alpha = \frac{\varepsilon}{\Delta T} = \frac{\varepsilon \text{ ‰}}{1000 * \Delta T}$$

$$\alpha = \frac{0,019}{1000} = 0,000019 = 19,0 * 10^{-6}$$

Idő perc	ε ‰
0,0	0,000
0,5	0,000
1,0	0,125
1,5	0,396
2,0	0,729
2,5	1,075
3,0	1,333
3,5	1,563
4,0	1,813
4,5	2,042
5,0	2,208
5,5	2,333
6,0	2,417

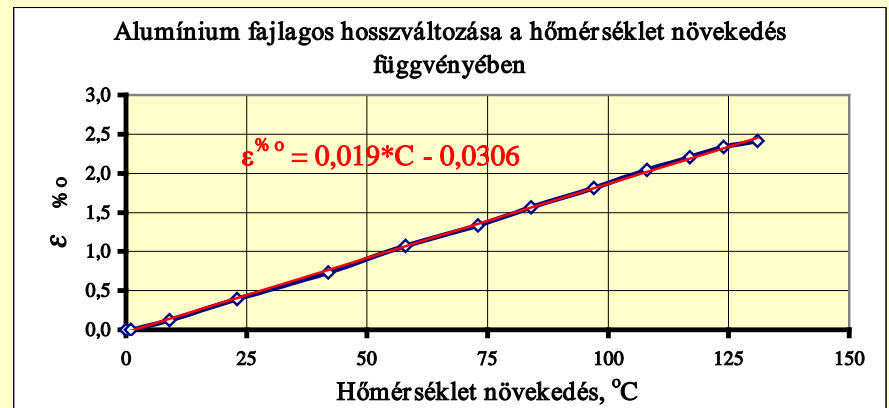
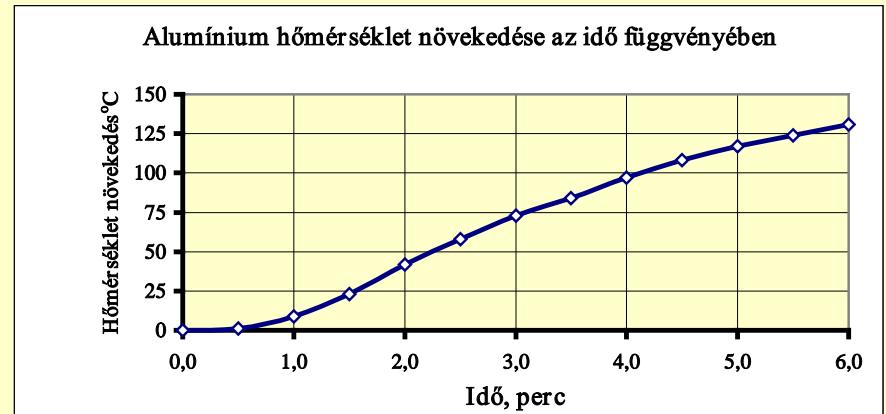
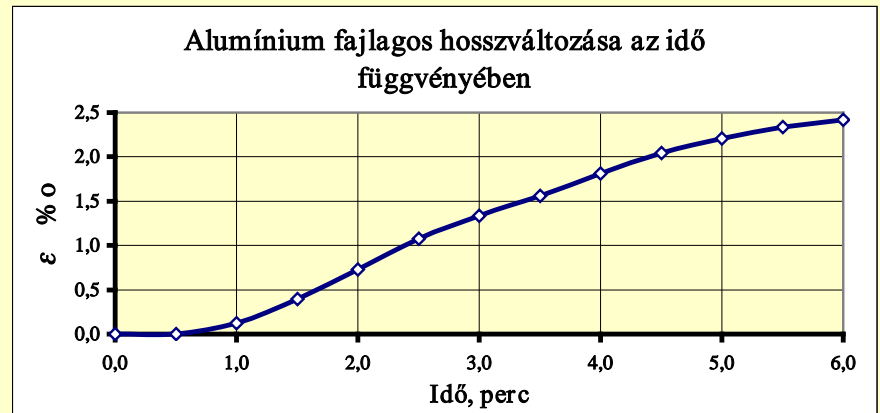
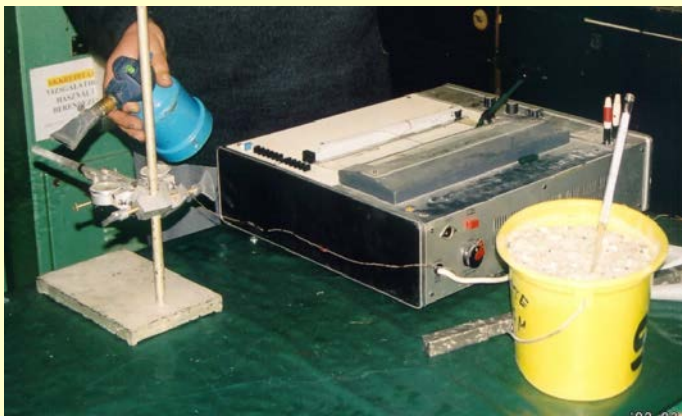
Idő perc	Hőmérséklet növekedés, °C
0,0	0
0,5	1
1,0	9
1,5	23
2,0	42
2,5	58
3,0	73
3,5	84
4,0	97
4,5	108
5,0	117
5,5	124
6,0	131

Hőmérséklet növekedés, °C	ε ‰
0	0,000
1	0,000
9	0,125
23	0,396
42	0,729
58	1,075
73	1,333
84	1,563
97	1,813
108	2,042
117	2,208
124	2,333
131	2,417

Néhány anyag lineáris hőtágulási együtthatója  
az irodalom  
[Palotás L.: Mérnöki szerkezetek anyagtana. 1.]  
szerint:

Anyag	α [1/°C]
Acél	11,9*10 <sup>-6</sup>
Alumínium	23,9*10 <sup>-6</sup>
Bazalt	8,0*10 <sup>-6</sup>
Beton	12,0*10 <sup>-6</sup>
Cementkő	18,5*10 <sup>-6</sup>
Cink	30,0*10 <sup>-6</sup>
Gránit	8,0*10 <sup>-6</sup>
Gipsz	25,0*10 <sup>-6</sup>
Gipszhabarcs	14,0*10 <sup>-6</sup>
Gyémánt	1,3*10 <sup>-6</sup>
Jég	52,5*10 <sup>-6</sup>
Kvarc	11,0*10 <sup>-6</sup>
Márvány	5,0*10 <sup>-6</sup>
Mészkő	6,9*10 <sup>-6</sup>
Réz	16,8*10 <sup>-6</sup>
Szilícium	7,0*10 <sup>-6</sup>
Tégla	9,0*10 <sup>-6</sup>
Üveg	5,0*10 <sup>-6</sup>
Víz	60,0*10 <sup>-6</sup>
Többek között azért lehet vasbetont készíteni, mert az acél és a beton hőtágulási együtthatója közel egyforma érték.	





## A beton kúszása és ernyedése

A kúszás és ernyedés reológiai fogalmak. A reológia görög eredetű szó, és ebben az értelmezésben az anyagoknak az idő folyamán lejátszódó változásait vizsgáló műszaki tudományág megnevezése.

A kúszás állandó hőmérsékleten, a tartós (időben változatlan) terhelőerő hatására fellépő, időben változó alakváltozás, amely kezdetben gyorsabban, később lassabban nő, míg évek múlva aszimptotához tart.

A kúszás ( $\varepsilon_{\text{kúszás}}$ ) a terhelés okozta pillanatnyi alakváltozással ( $\varepsilon_0$ ) és a zsugorodással ( $\varepsilon_{\text{zs}}$ ) együtt a *tartós alakváltozást* ( $\varepsilon_t$ ) teszi ki:

$$\varepsilon_t = \varepsilon_0 + \varepsilon_{\text{zs}} + \varepsilon_{\text{kúszás}} = \varepsilon_0 + \varepsilon_{\text{lassú}} \quad \text{és} \quad \varepsilon_{\text{kúszás}} = \varepsilon_t - \varepsilon_0 - \varepsilon_{\text{zs}}$$

A beton *lassú alakváltozása* ( $\varepsilon_{\text{lassú}}$ ) a beton *zsugorodásának* és *kúszásának* együttes jelensége *dr. Palotás László* professzor (1905-1993) terminológiája szerint:

$$\varepsilon_{\text{lassú}} = \varepsilon_{\text{zs}} + \varepsilon_{\text{kúszás}}$$



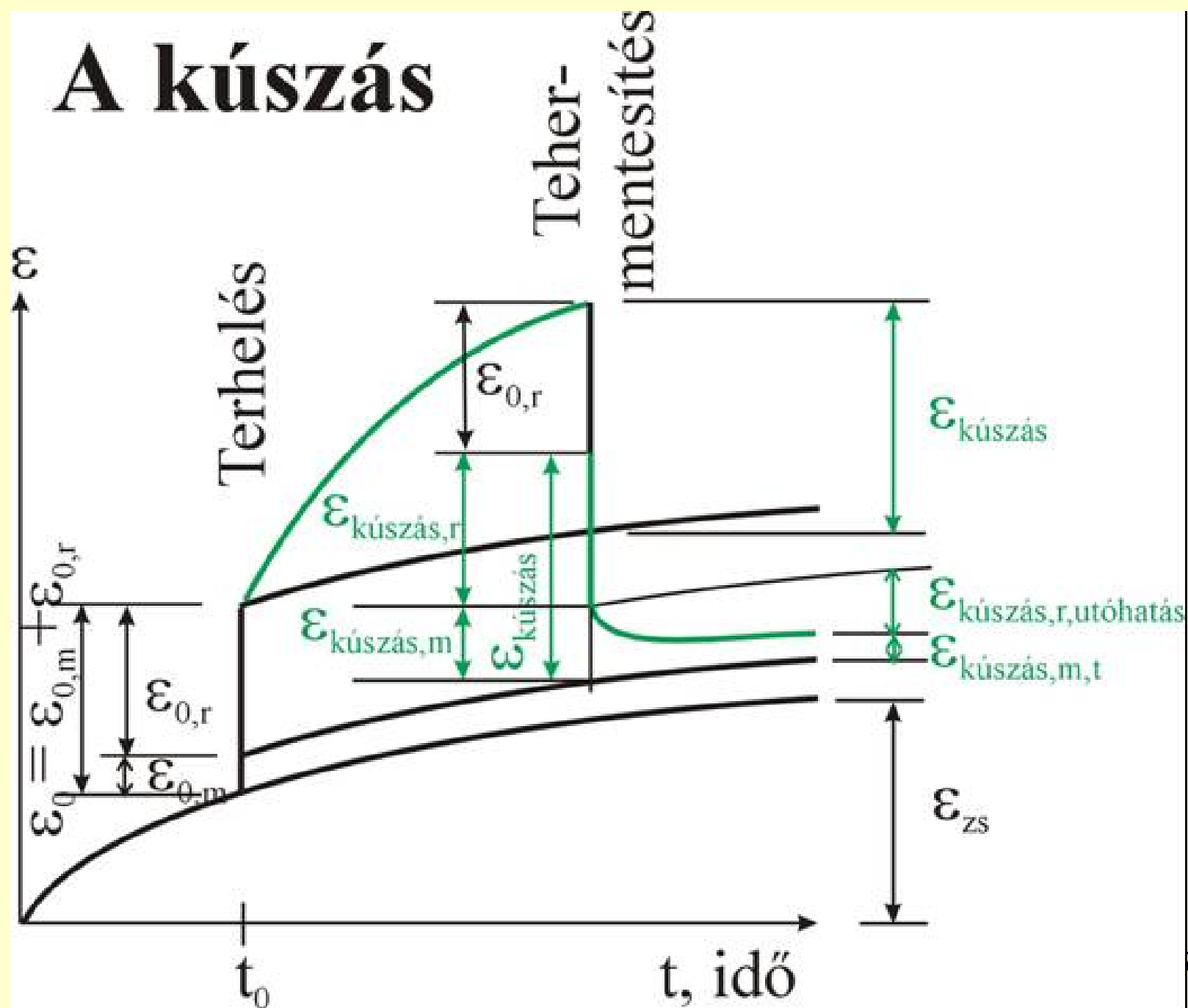
A következő ábrán a kúszás folyamata látható az idő függvényében. Ha a megterhelt betont bizonyos idő elteltével tehermentesítjük, akkor az nem nyeri vissza eredeti alakját, mert a tartós alakváltozás ( $\varepsilon_t$ ) egy része maradó alakváltozás ( $\varepsilon_{t,m}$ ), amely a zsugorodásból ( $\varepsilon_{zs}$ ), a terhelés okozta pillanatnyi alakváltozás ( $\varepsilon_0$ ) maradó részéből ( $\varepsilon_{0,m}$ ) és a kúszás maradó alakváltozásából ( $\varepsilon_{kúszás,m}$ ) tevődik össze:

$$\varepsilon_{t,m} = \varepsilon_{zs} + \varepsilon_{0,m} + \varepsilon_{kúszás,m}$$

Tehermentesítés után, az idő folyamán a kúszás maradó alakváltozásának egy része rugalmasan visszaalakul,  
 - ezt a kúszás rugalmas utóhatásának nevezik ( $\varepsilon_{kúszás,r,utóhatás}$ )  
 - ezért a tartós alakváltozás maradó részének végértéke:

$$\varepsilon_{t,m,\infty} = \varepsilon_{zs} + \varepsilon_{0,m} + \varepsilon_{kúszás,m} - \varepsilon_{kúszás,r,utóhatás}$$

# A kúszás



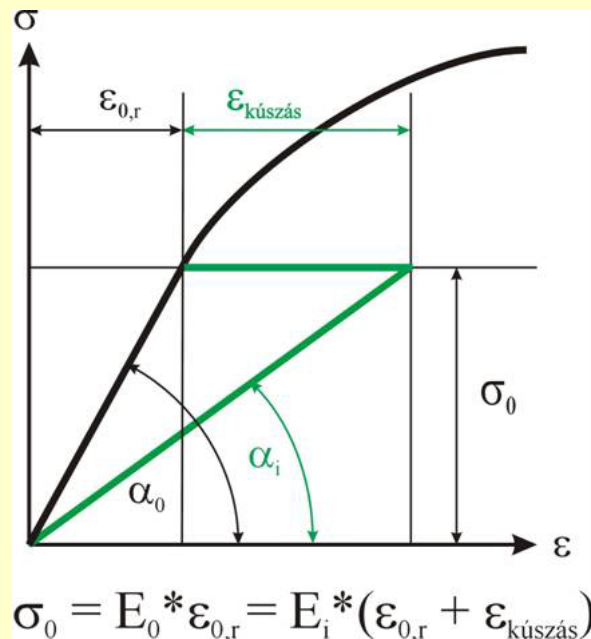


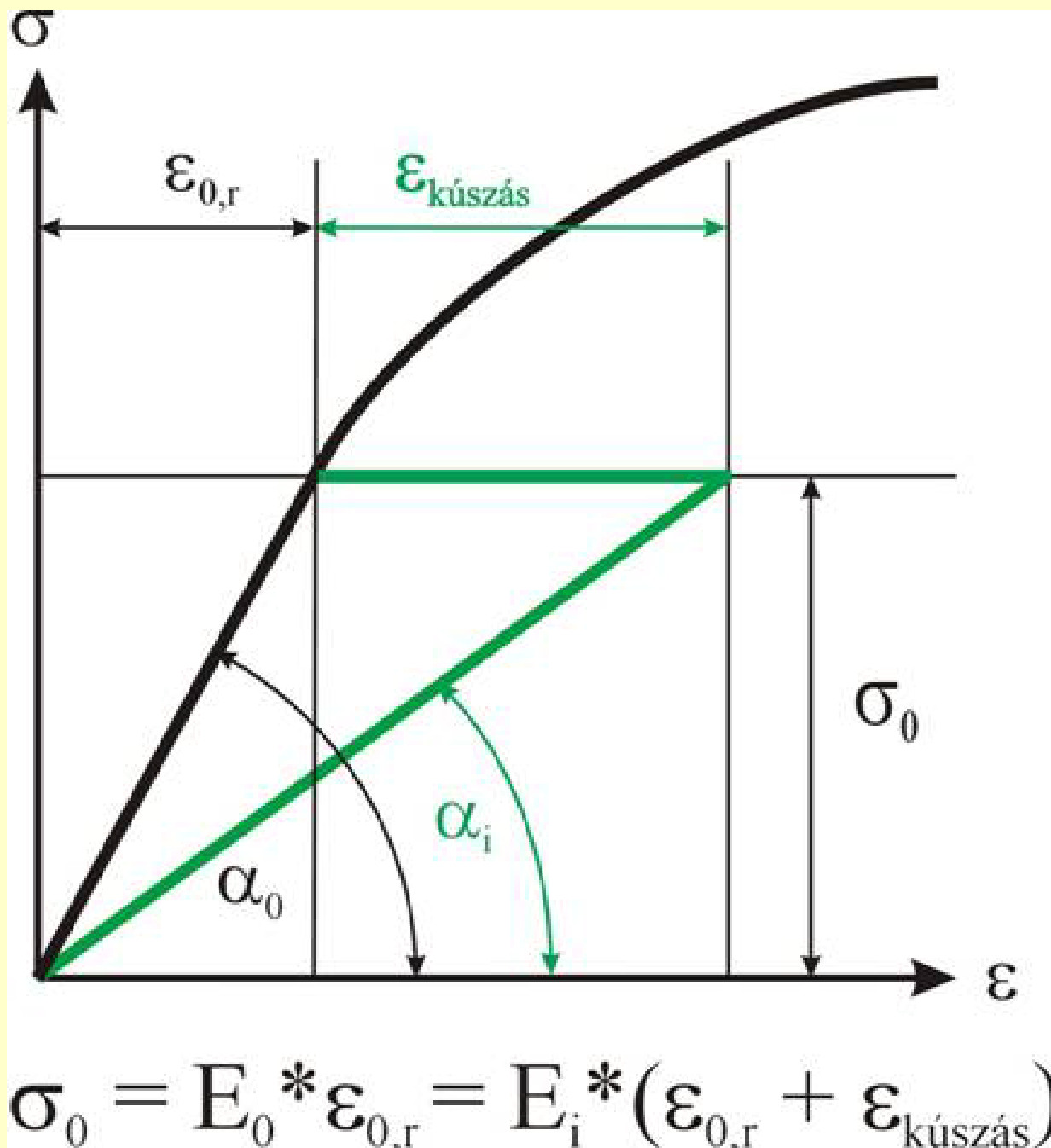
A beton kúszását a méretezés során úgy vesszük figyelembe, hogy tartós terhelés esetén a kezdeti rugalmassági modulus ( $E_0$ ) helyett az „ideális” rugalmassági modulussal ( $E_i$ ) számolunk:

$$E_i = \frac{\sigma_0}{\varepsilon_{0,r} + \varepsilon_{kúszás}} = \frac{\sigma_0}{\varepsilon_{0,r}} * \frac{1}{1 + \frac{\varepsilon_{kúszás}}{\varepsilon_{0,r}}} = E_0 * \frac{1}{1 + \varphi}$$

ahol:

$\varphi = \varepsilon_{kúszás} / \varepsilon_{0,r} = \text{a kúszási tényező}$





**A beton kűszását  
az MSZ EN  
12390-17:2020  
szabvány szerint  
kell vizsgálni.**



A **kúszási határ** a kúzásnak (vagy a lassú alakváltozásnak, amely esetben „lassú alakváltozási határ”-nak nevezik) az a végtelen hosszú időhöz tartozó legnagyobb értéke, amelyet állandó terhelő mellett az anyag éppen törés nélkül viselni képes. A kúszási határhoz tartozó feszültség a **tartós szilárdság**.

A **beton tartós szilárdsága** az az állandó terhelőerő okozta legnagyobb feszültség, amelyet a beton végtelen hosszú ideig törésmentesen elbír. *Palotás László professzor* megfogalmazásában: „a tartós szilárdság az a tartós terhelőfeszültség, amely mellett az anyag alakváltozási kapacitása kimerül”<sup>59</sup>

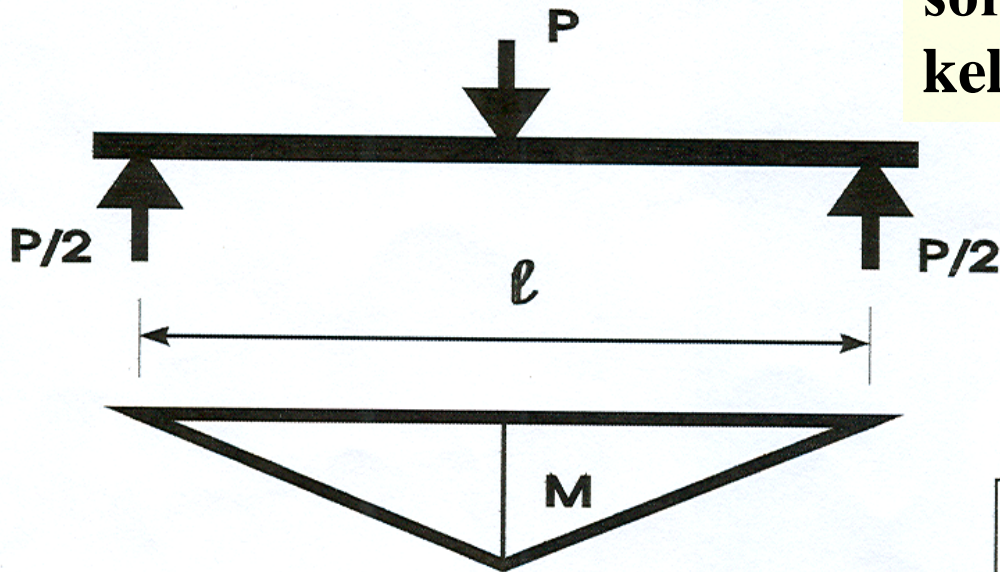
Beton nyomószilárdsági osztálya	Kúszási tényező közepes végértéke <b>A kúszási határ közepes értéke</b>
C8/10	2,7
C16/20	2,1
C25/30	1,7
C35/45	1,4
C45/55	1,2

Az  $1/(1+\phi)$  tényező egynél kisebb szám, tehát **a kúszás** olyan folyamatnak tekinthető, mint amely a **rugalmassági modulust csökkenti**, például a **hajlított tartók időbeni lehajlását növeli**, így voltaképpen kedvezőtlen jelenség.



Ha az időben a **rugalmassági modulus ( $E$ ) csökken**, akkor a **hajlított tartó lehajlása ( $\eta$ ) az időben növekszik**, és ezt a változást már a méretezés során a kúszási tényezővel ( $\varphi$ ) kell figyelembe venni.

Középen terhelt kéttámaszú tartó



Lehajlás a tartó támaszközepén:

$$\sigma_{hajlító} = \frac{M}{K} = \frac{P \cdot l}{4} / \frac{a \cdot b^2}{6} = 1,5 \cdot \frac{P \cdot l}{a \cdot b^2}$$

$$\eta = c \cdot \frac{P \cdot l^3}{E \cdot I} = \frac{1}{48} \cdot \frac{P \cdot l^3}{E \cdot I}$$

$E \cdot I$  = hajlítási merevség 2

## **A beton kúszását befolyásolja:**

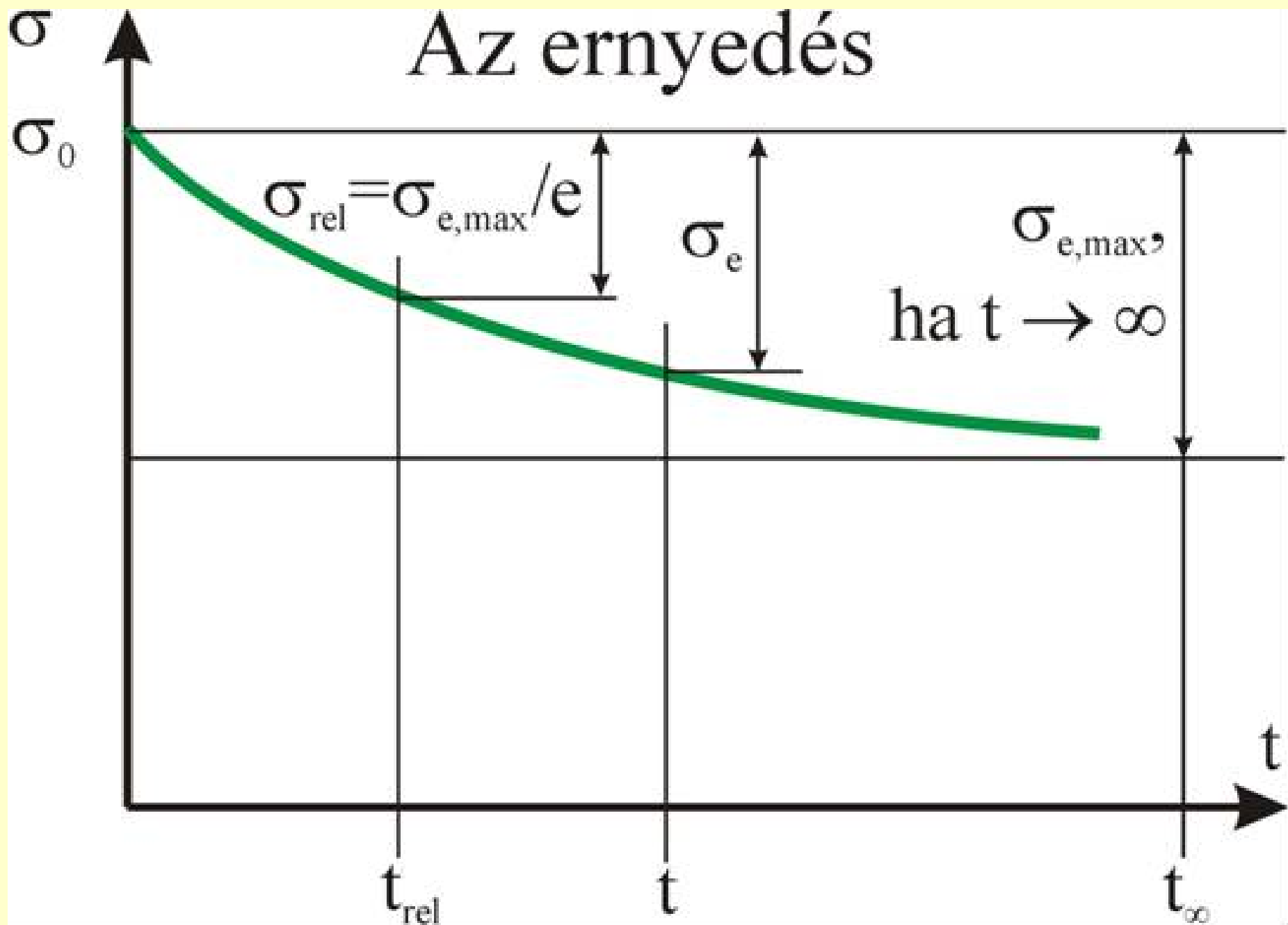
- a szerkezeti elem keresztmetszetének alakja;
- a terhelés kezdetének időpontja;
- a környezet relatív páratartalma;
- a friss beton konzisztenciája;
- a megszilárdult beton szilárdsága stb.

## **A kúszás az egyébként is ajánlott szilárdság növelő intézkedésekkel csökkenthető:**

- nagyobb szilárdságú cement;
- jó minőségű adalékanyag;
- kevés keverő víz;
- jó bedolgozás;
- gondos és hosszú idejű nedves utókezelés;
- késői kizsaluzás stb.

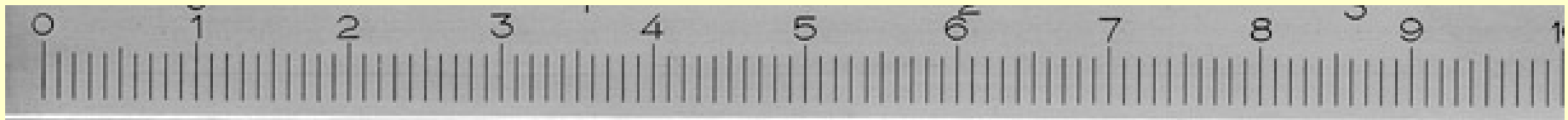


# Az ernyedés



Az ernyedés ( $\sigma_e$ ), más szóval relaxáció tulajdonképpen a kúszás inverze, „megfordítottja”. Azt a feszültség csökkenést (ernyedést) jelenti, amely az alakváltozás állandó értéken tartásához szükséges.

Azt az időt, amely alatt az ernyedés végértékének ( $\sigma_{e,max}$ ) bizonyos hányada ( $\sigma_{rel}$ ) bekövetkezik, ernyedési (relaxációs) időnek ( $t_{rel}$ ) hívják. Ennek értéke igen nagy szám.



**Köszönöm a figyelmüket..., de** 



**RÁADÁS**

azoknak, akik szívesen  
nézegetik a régi könyveket:

**Erich Siebel:**

**Handbuch der Werkstoffprüfung**

Zweite verbesserte Auflage

**Dritter Band:**

**Die Prüfung nichtmetallischer  
Baustoffe**

Herausgegeben von **Otto GRAF †**

**Springer-Verlag**

**Berlin/Göttingen/Heidelberg**

**1957**

# Die Prüfung nichtmetallischer Baustoffe

Bearbeitet von

K. Alberti, Köln · W. Albrecht, Stuttgart · G. Blunk, Braun-  
schweig · E. Brandenberger, Zürich · E. Brenner, Stuttgart  
H. Broese van Groenou, Mannheim · F. Burgstaller, Krebsöge  
K. Egner, Stuttgart · K. Gösele, Stuttgart · O. Graff  
G. Haegermann, Hemmoor · R. Haug, Stuttgart · H. Hecht,  
Berlin · A. Hummel, Aachen · F. Kaufmann, Stuttgart · F. Keil,  
Düsseldorf · A. Kieslinger, Wien · R. Köhler, Düsseldorf  
F. Kollmann, München · Th. Kristen, Braunschweig · W. Küch,  
Dortmund · J. Löffler, Witten · H. Mallison, Essen · H. Mayer-  
Wegelin, Hann.-Münden · H. Muhs, Berlin · K. Obenauer,  
Düsseldorf · F. de Quervain, Zürich · W. Rodel, Zürich · G. Rod-  
loff, Witten · W. Schüle, Waiblingen · W. Schwaderer,  
Stuttgart · H. Seekamp, Berlin · H. zur Strassen, Wiesbaden  
A. Voellmy, Zürich · K. Walz, Düsseldorf · D. Wapler, Stutt-  
gart · G. Weil, Stuttgart · H. Zycha, Hann.-Münden

Herausgegeben von

Otto Graf †



Zweite verbesserte Auflage

Mit 690 Abbildungen



Springer-Verlag

Berlin / Göttingen / Heidelberg

1957

## Hosszváltozás- mérés

bebetonozott  
csapszegre  
erősített  
mérőórával

Mérési  
alaphossz

Ide  
támaszkodik  
a mérőrúd

brigen Bolzen mit einer  
eine Meßuhr, in den  
ugespitzter Stift ein-  
bolzen der Meßuhr und

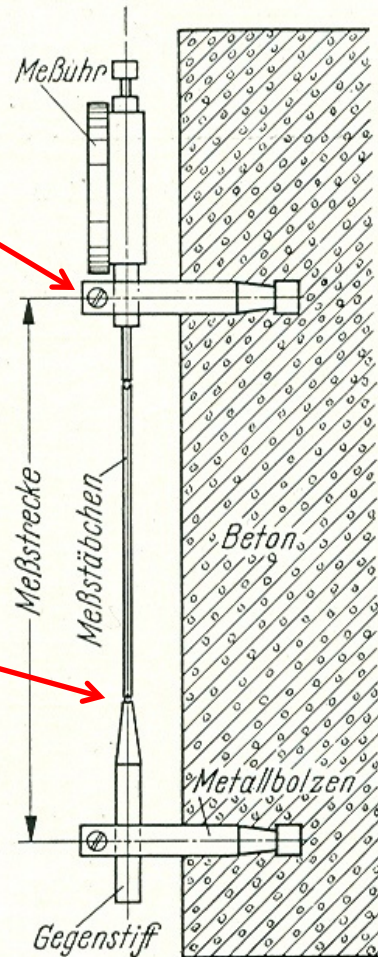


Abb. 1. Dehnungsmessung  
mit an einbetonierten  
Bolzen befestigter Meßuhr.

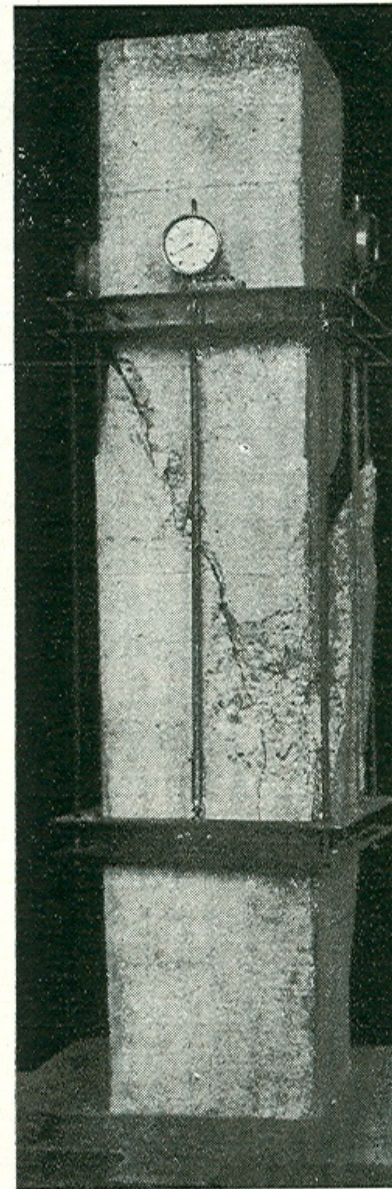
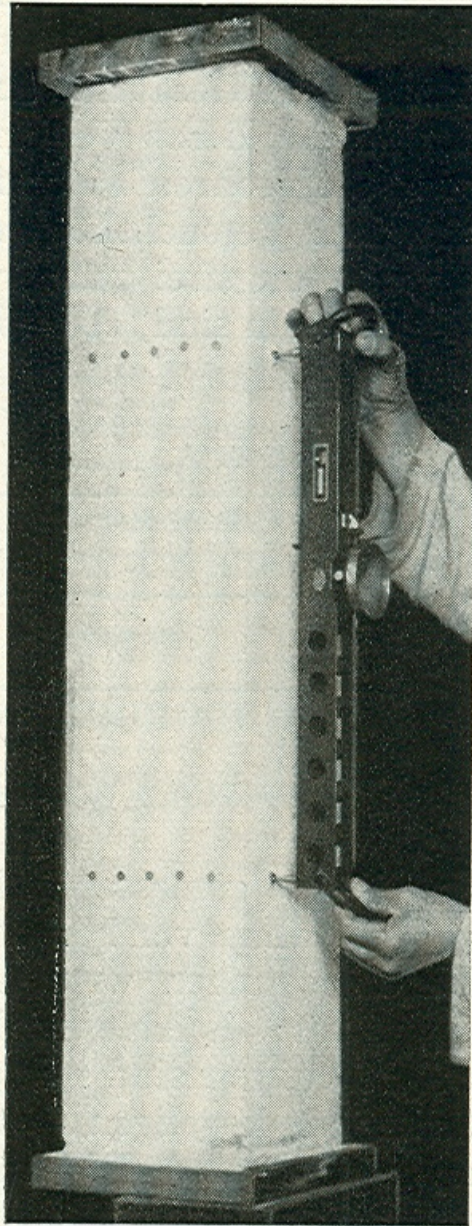


Abb. 2. Dehnungsmessung mit  
in Stahlrahmen eingesetzten  
Meßuhren<sup>1</sup>.

Hosszváltozás-  
mérés  
acélkeretre  
ültetett  
mérőórával

**Helyszíni  
vizsgálati  
módszer**





**A Stuttgarteri Műszaki Egyetem  
(Technische Hochschule Stuttgart)  
Építőipari Kutató és Anyagvizsgáló  
Intézetének  
(Forschungs- und Materialprüfungsanstalt  
für das Bauwesen)  
hordozható, **deformméter** típusú  
Hosszváltozás mérő eszköze,  
amelyet két változatban,  
200 mm-es és 500 mm-es mérőhosszal  
fejlesztettek ki**

Abb. 3. Dehnungsmessung mit  
Setzdehnungsmesser.

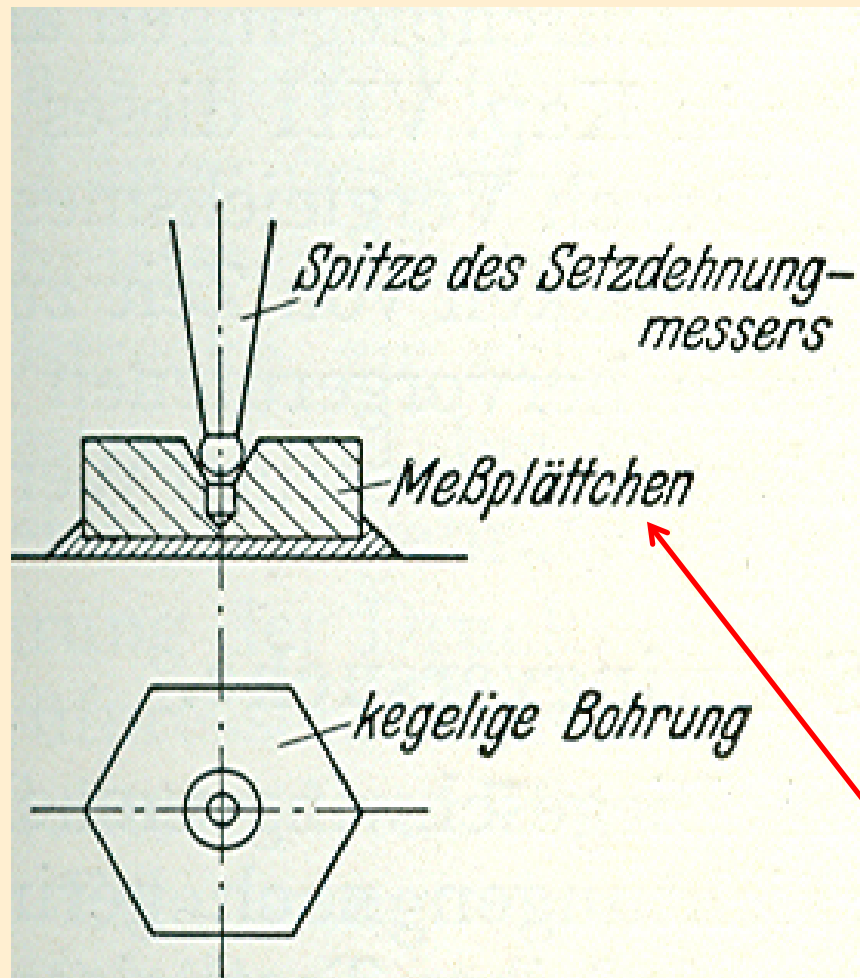


Abb. 4.

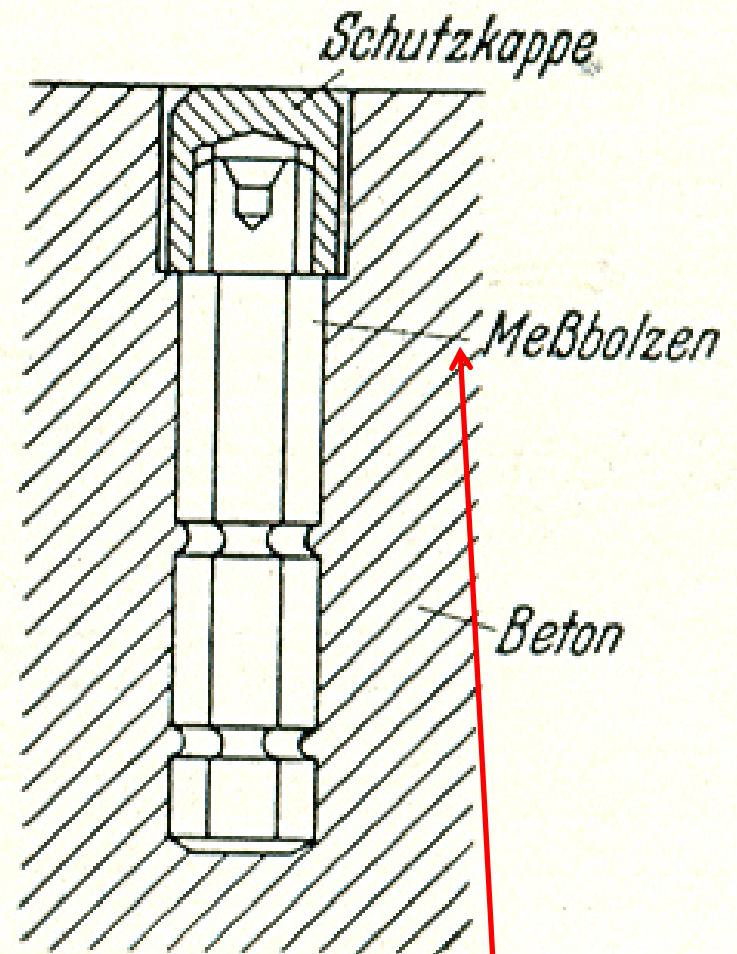


Abb. 5.

Abb. 4 u. 5. Meßplättchen und Meßbolzen für Setzdehnungsmesser.

**Az előző ábrán bemutatott deformméter mérőlapkája és mérőcsapja**



## Mérőkeret

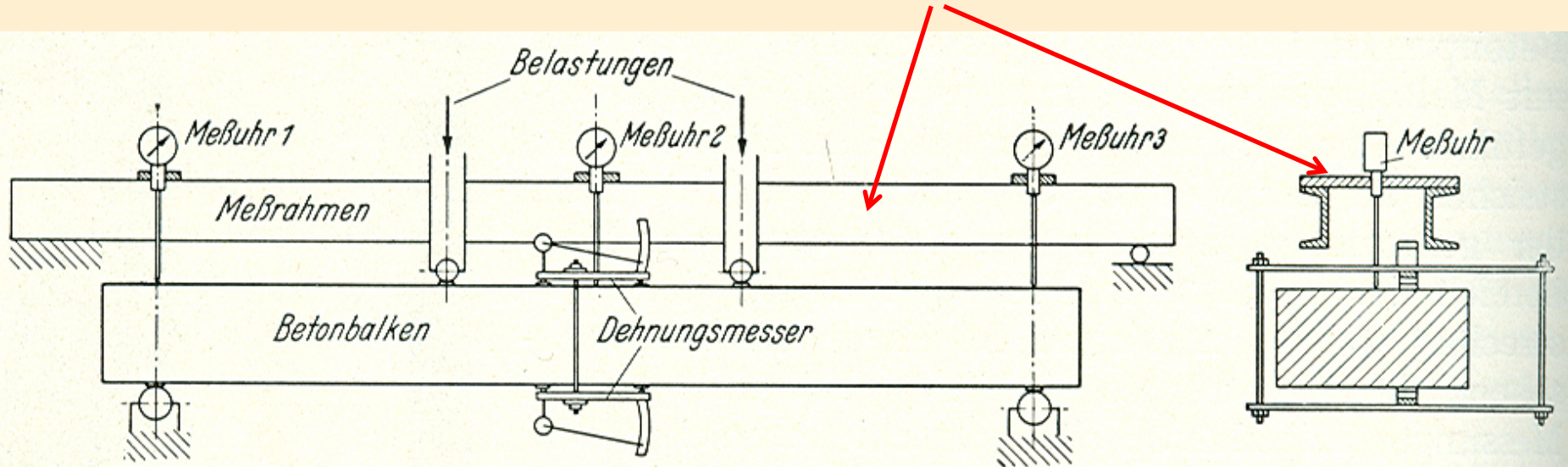


Abb. 6. Versuchsanordnung für Biegeversuche.

**Kísérleti eszköz betongerenda lehajlásának mérésére**

**Abb. 1. = 1. ábra:**  
**Zsugorodási görbe az idő**  
**függvényében,**  
**a kötési hő figyelembevételével**

**Abb. 2. = 2. ábra:**  
**A levegő páratartalmának hatása**  
**a zsugorodásra, 2, 3 és 50 napos**  
**korban (Lucas után)**  
**Melegedés                      Hűlés**

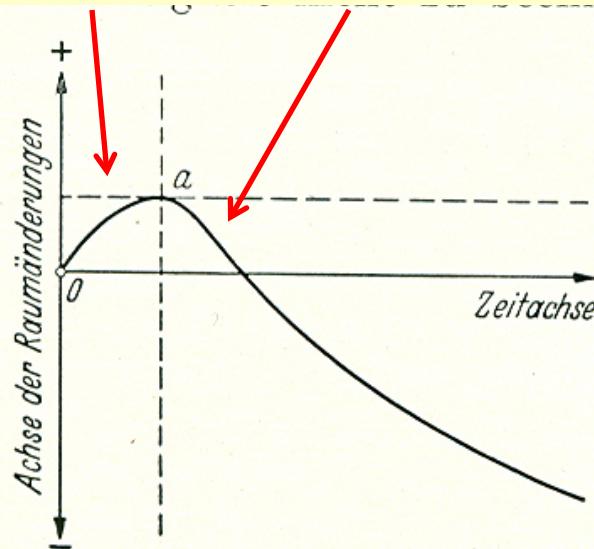


Abb. 1. Ausgangspunkt der Schwindmessungen unter Berücksichtigung der Abbindewärme.

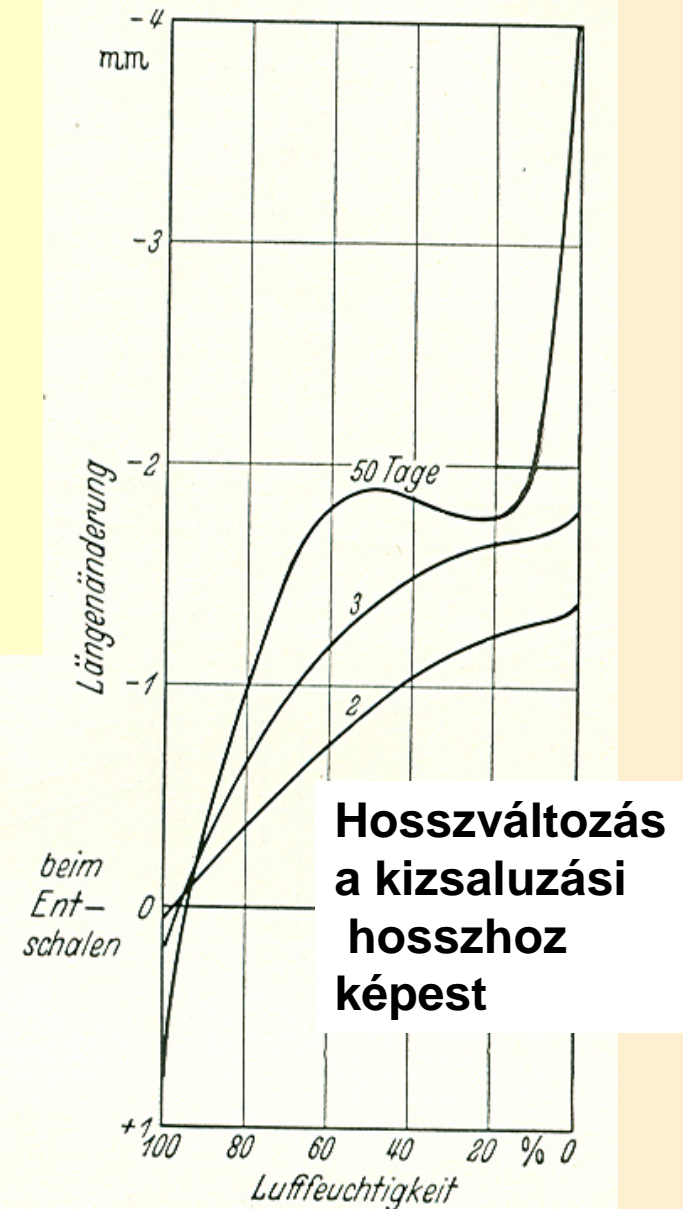


Abb. 2. Einfluß der Luftfeuchtigkeit auf das Schwinden nach LUCAS.



## HUGGENBERGER TENZOMÉTER.

Ezt a típust fenn már a  
*Weiss György*-féle könyvben is láttuk.

A mutató-leolvasás pontosságát  
parallaxis-tükör segíti.

A műszer mérési alaphossza:  
200 mm vagy 500 mm.

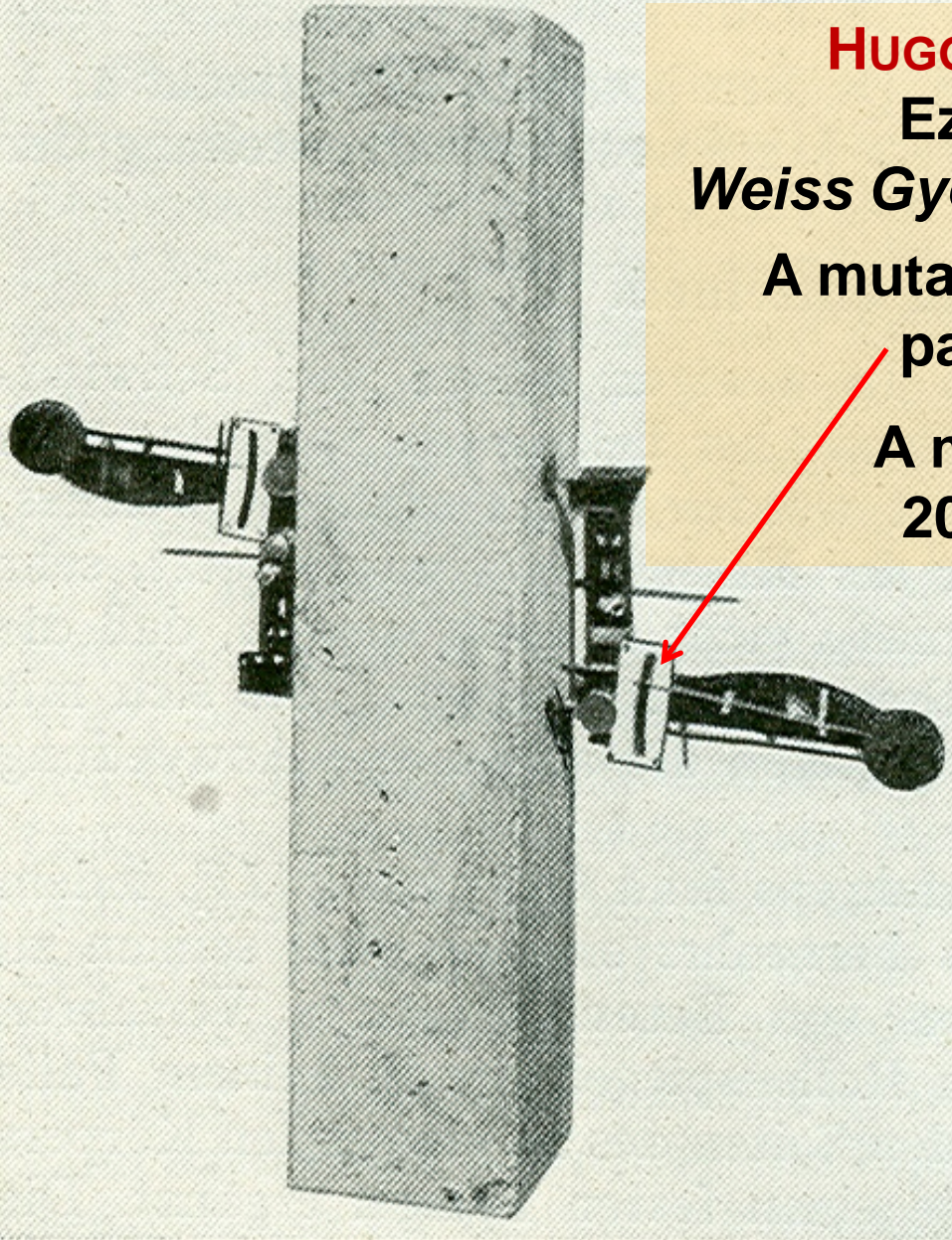
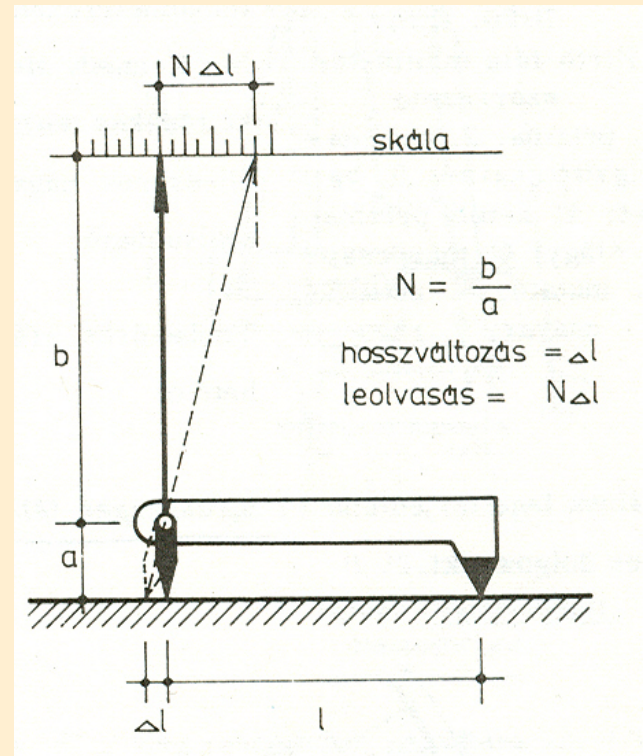


Abb. 4. Tensometer.





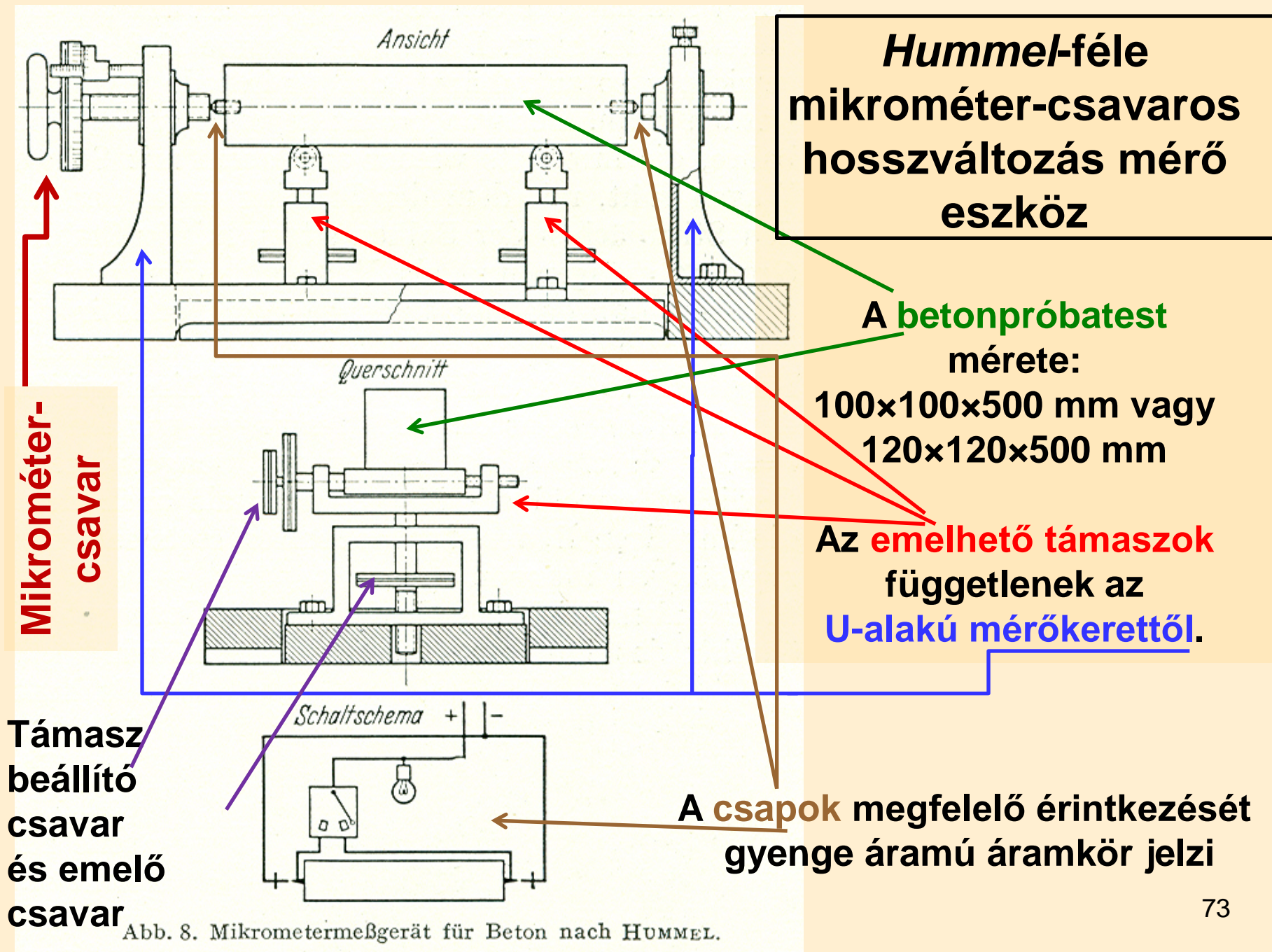


Abb. 8. Mikrometermeßgerät für Beton nach HUMMEL.



**Amsler-Wetzlar-féle beton  
zsugorodás mérő kocsi**

**A tanszéki gyakorla-  
ton is bemutattuk.**

**Mikrométercsavar  
„túl-csavarást gátló”  
szerkezettel**

Abb. 9. Schwindmeßgerät nach AMSLER.

## **Graf-Kaufmann-féle beton zsugorodás mérő eszköz**

**A fényképen  
álló-helyzetű elrendezés látható,  
a tanszéki gyakorlaton  
(lásd a fenti diaképet)  
fekvő-helyzetben mérő eszközt  
mutattunk be.**

**Fekvő-helyzetű elrendezés esetén  
fontos, hogy a próbatest  
ne kéttámaszú gerendaként  
alátámasztva  
feküdjön, mert a támaszok  
az elmozdulásokat fékezhetik.**

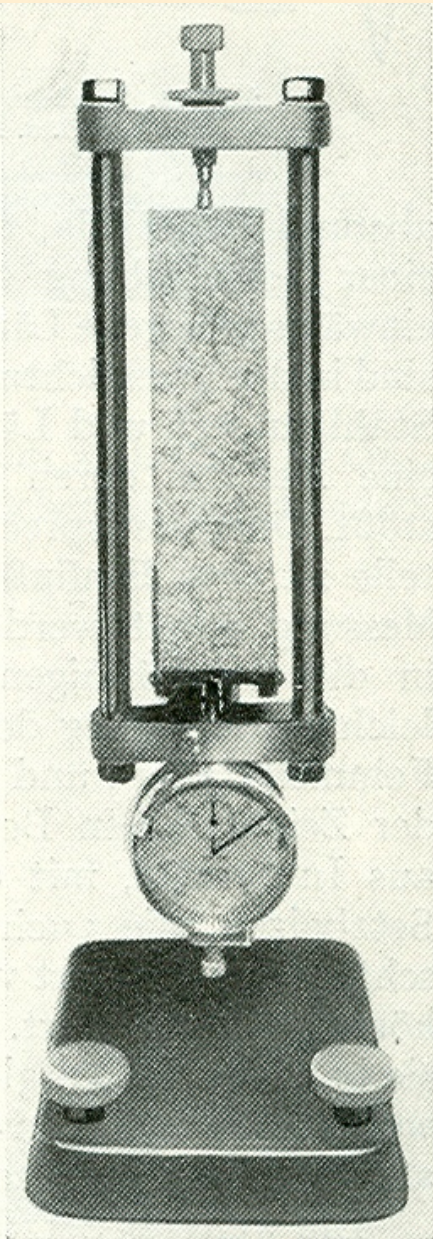


Abb. 10. Schwindmeßgerät nach  
GRAF-KAUFMANN.



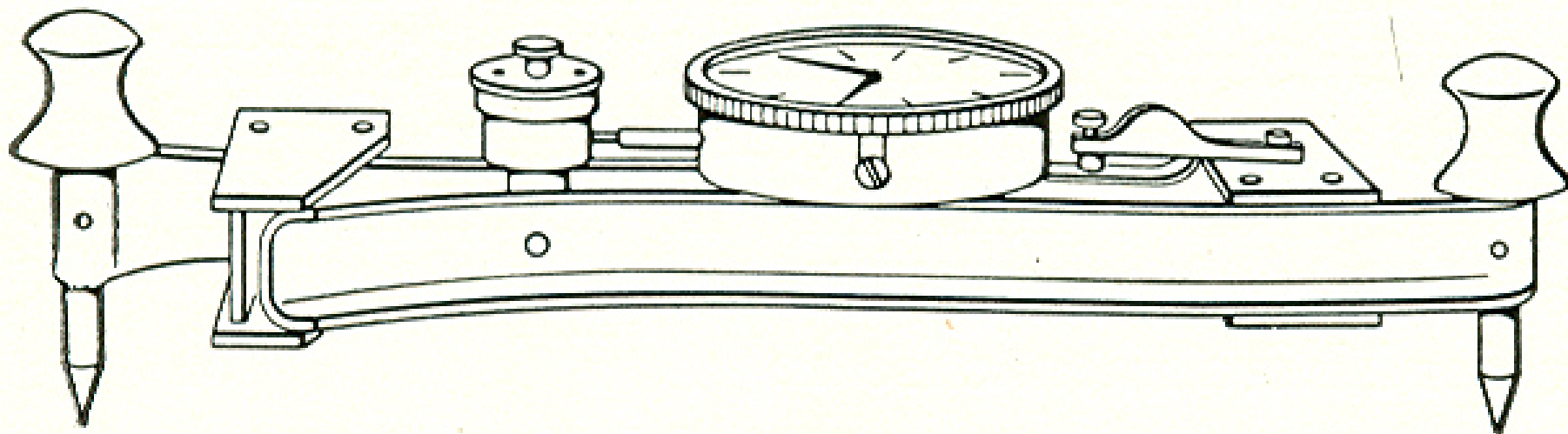
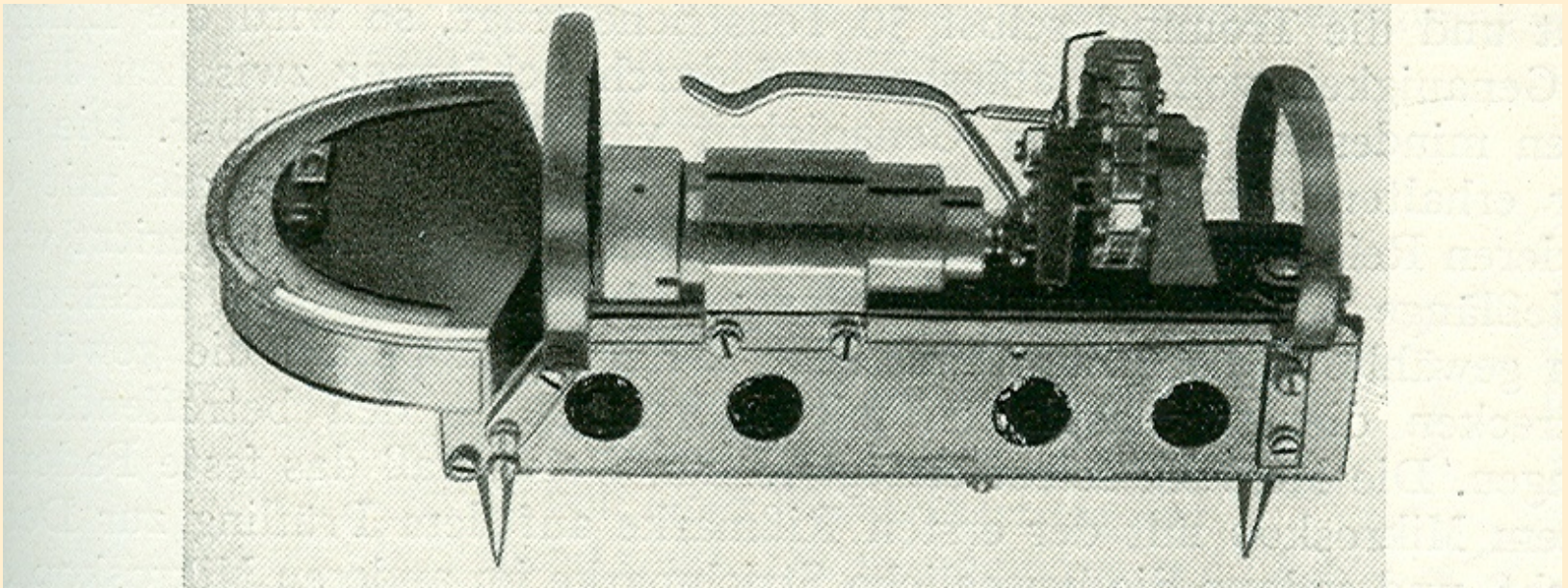


Abb. 11. Setzdehnungsmesser nach HUGGENBERGER  
(vgl. a. Bd. 1, Kap. VI C, 2 a).

### ***Huggenberger-féle deformméter***

**(eseténként, így ebben a könyvben  
is deforméternek nevezik, egy „m”-mel írva).**

**A helyszíni zsugorodás mérésre kialakított típus  
mérési alaphossza 254 mm (= 10 inch),  
leolvasási pontossága 0,0025 mm.**



Felső ábra: Nagypontosságú **Graf-féle** (Technische Hochschule **Stuttgart**) eszköz, amelyet a XX. század első felében a német birodalmi beton-autópályák zsugorodásának mérésére használtak.

Alsó ábra: A **Müncheni** Műszaki Egyetemen (Technische Hochschule München) kifejlesztett zsugorodás mérő.

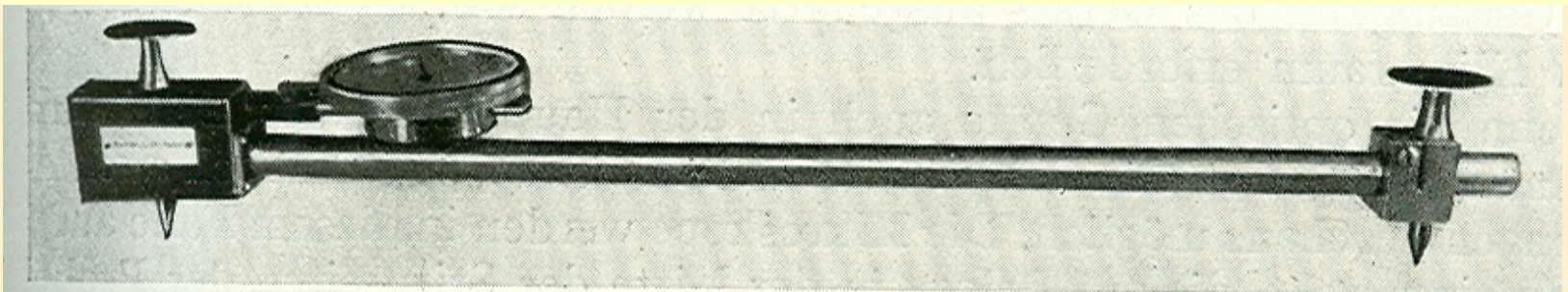


Abb. 12a. Münchener Setzdehnungsmesser.



**Leitz-féle  
optikai  
betonkomparátor**  
Fenn már beszéltünk róla.

Az ábrán látható komparátor  
mikroszkópjainak nagyítása 100-szoros.

Mérési alaphossz: Legfeljebb 400 mm.

Leolvasási pontosság: 0,001 mm



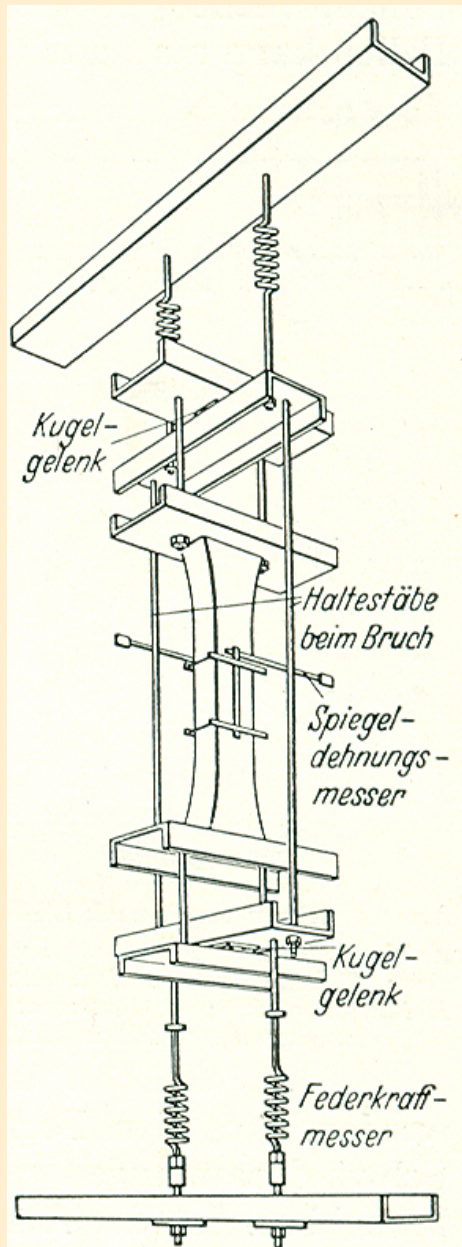


Abb. 14. Messung der Schwindspannungen nach THOMAS.

**F. G. Thomas** az ábrán látható berendezéssel a beton 2-3 hónapos koráig azt vizsgálta, hogy a lassan növekvő **húzóerő** hatására ébredő megnyúlások és a zsugorodás okozta rövidülések miként összegződnek.

A húzóerőt rugókkal ébresztették.

A méréshez klímakamrára volt szükség, mert minden egyéb feszültség fellépése a mérési eredmény pontosságát leronthatta volna.

Fenn a „kúszási ábrán” azt láttuk, hogy a zsugorodás és a nyomóterhelések ébresztette alakváltozások (összenyomódások) összeadódnak.



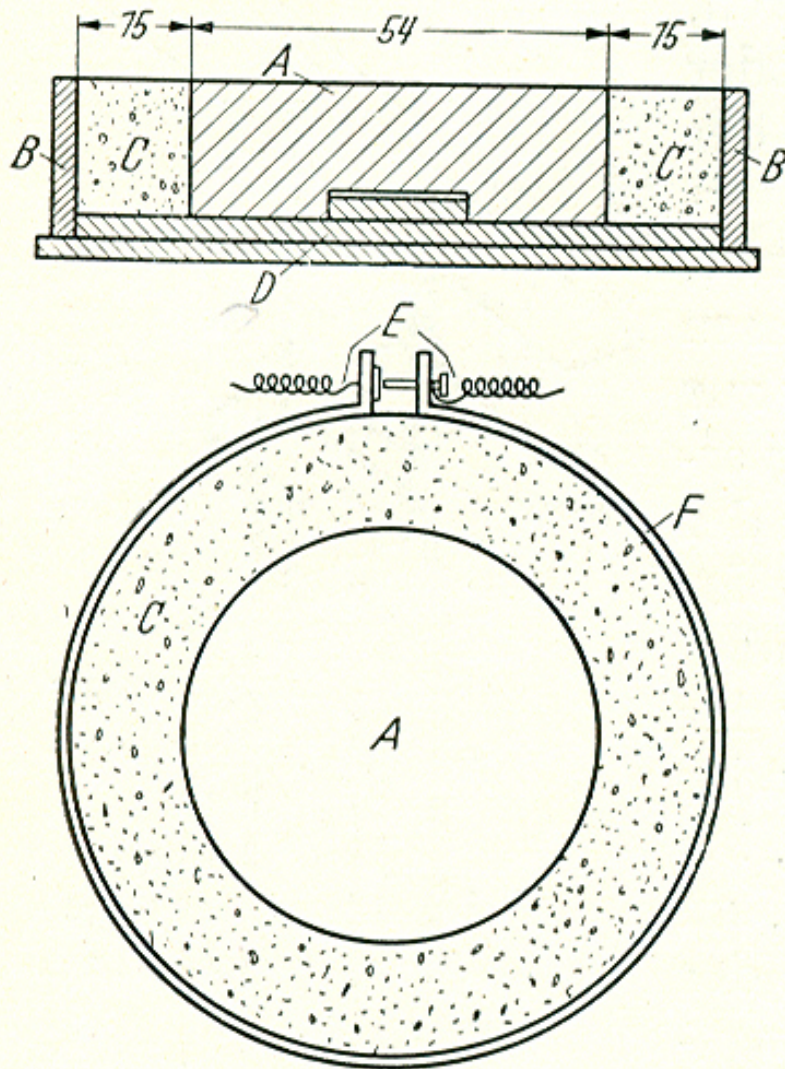


Abb. 17. Ringversuch nach L'HERMITE.  
 A Stahlzylinder; B äußerer Schalungs-  
 ring; C Zementpaste; D Bodenplatte;  
 E Platinkontakte; F elastischer offener  
 Messingring (Maße in mm).

## **L'Hermite-féle**

**zsugorodás mérő gyűrű.**

**A zsugorodó beton próbagyűrű az „A” jelű acél-magra feszül, és megrepedezik.**

**A beton próbagyűrűt kívülről egy rugalmas, nyitott fém mérőgyűrű (F) veszi körül, amelyre illesztett elektromos érintkezővel (E) az első repedés megjelenésének időpontja érzékelhető.**

**A Tanszéken dr. *Fenyvesi Olivér* tanár úr alkalmazta a gyűrűs zsugorodás mérőt a „Betonok korai zsugorodási repedésérzékenysége” című doktori értekezésének kidolgozása során. PhD. értekezésének tézislevele**

**itt olvasható:**

**[http://www.omikk.bme.hu/collections/phd/Epitomernoki\\_Kar/2012/Fenyvesi\\_Oliver/tezis\\_hun.pdf](http://www.omikk.bme.hu/collections/phd/Epitomernoki_Kar/2012/Fenyvesi_Oliver/tezis_hun.pdf)**



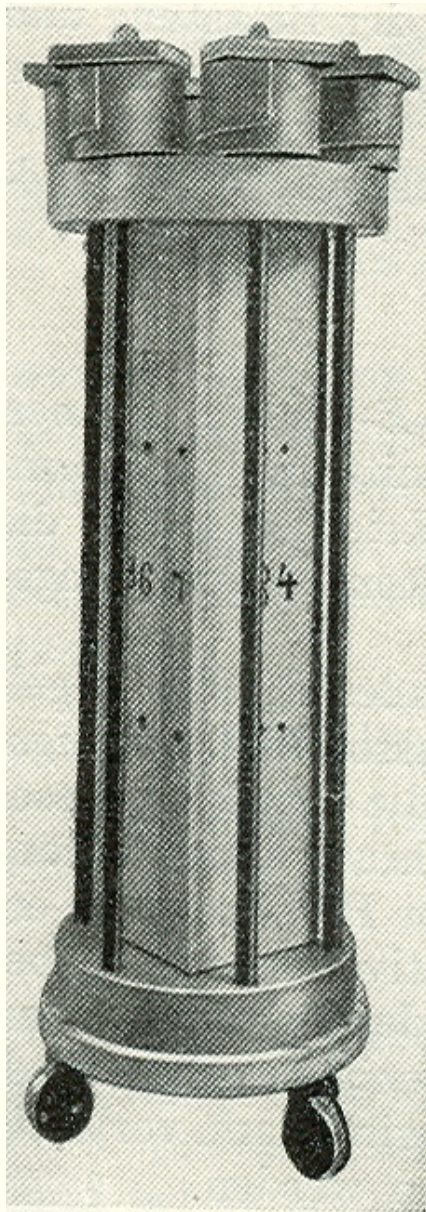


Abb. 18. Dauerbelastung  
nach GRAF.

A bal oldalon lévő  
fényképen (Abb. 18.) a  
**Graf-féle kúszás vizsgáló**  
berendezés látható.

A kúszás vizsgáló  
berendezésekben a tartósan  
ható terhelést például  
rúgókkal vagy hidraulikus  
nyomással szokták  
létrehozni.

(Lásd a következő  
diaképet is)

Jobbra: A BME Építőanyagok  
Tanszékének egykori rugós kúszás  
vizsgáló berendezése (talán még  
a *Mihailich* professzor idejéből?)

Tenzométer



03 03 07



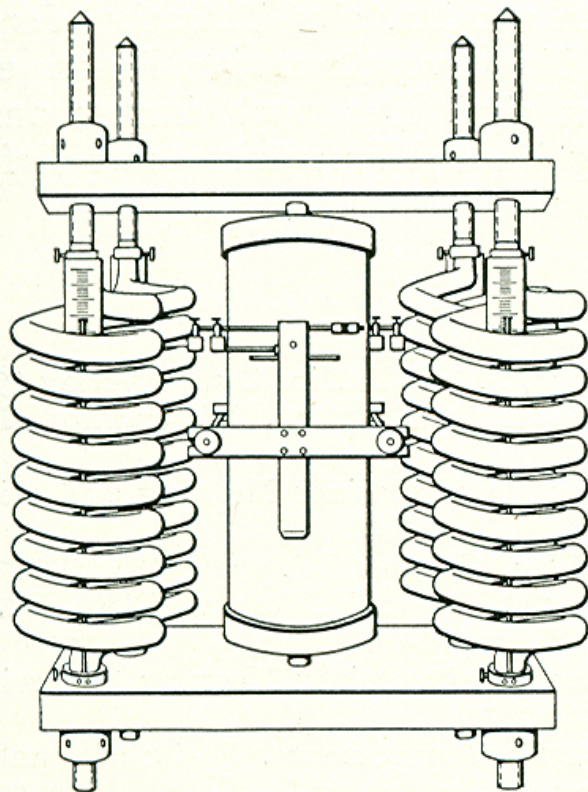


Abb. 19. Dauerbelastung mit Hilfe von 4 Spiralfedern.

**Abb. 20.:**  
**Rüsch-féle hidraulikus berendezés**  
 a kúszás vizsgáló berendezéshez,  
 amellyel egyszerre több próbatest is  
 tartósan nyomás alatt tartható volt.

**Abb.19.: Glanville-féle rugós,  
 skálás-mutatós terhelő berendezés**  
 kúszás vizsgálóhoz.

**A skálán a rugóerőt lehetett  
 leolvasni.**

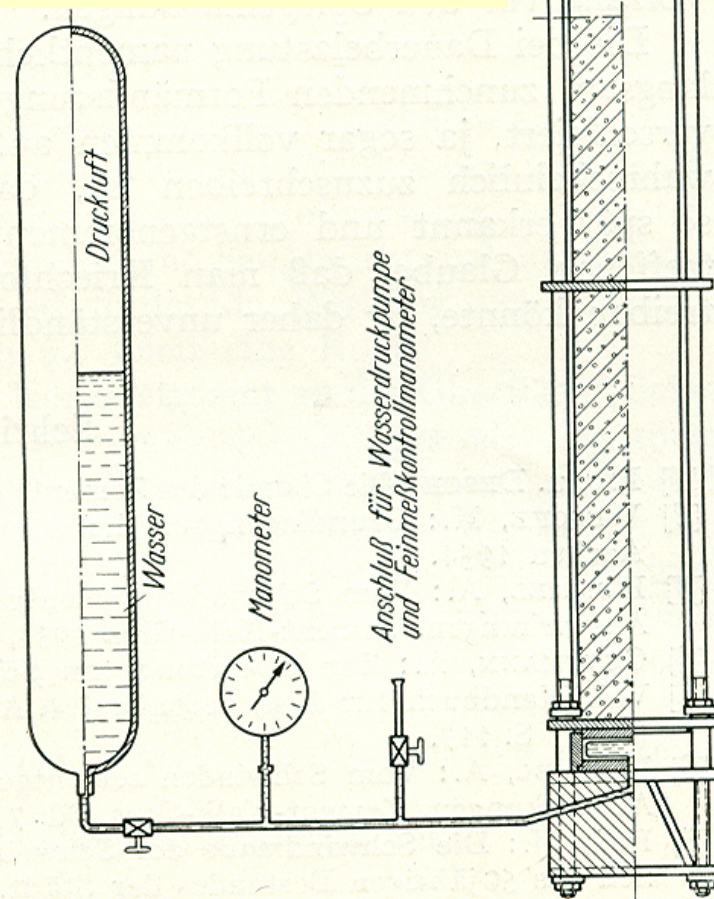
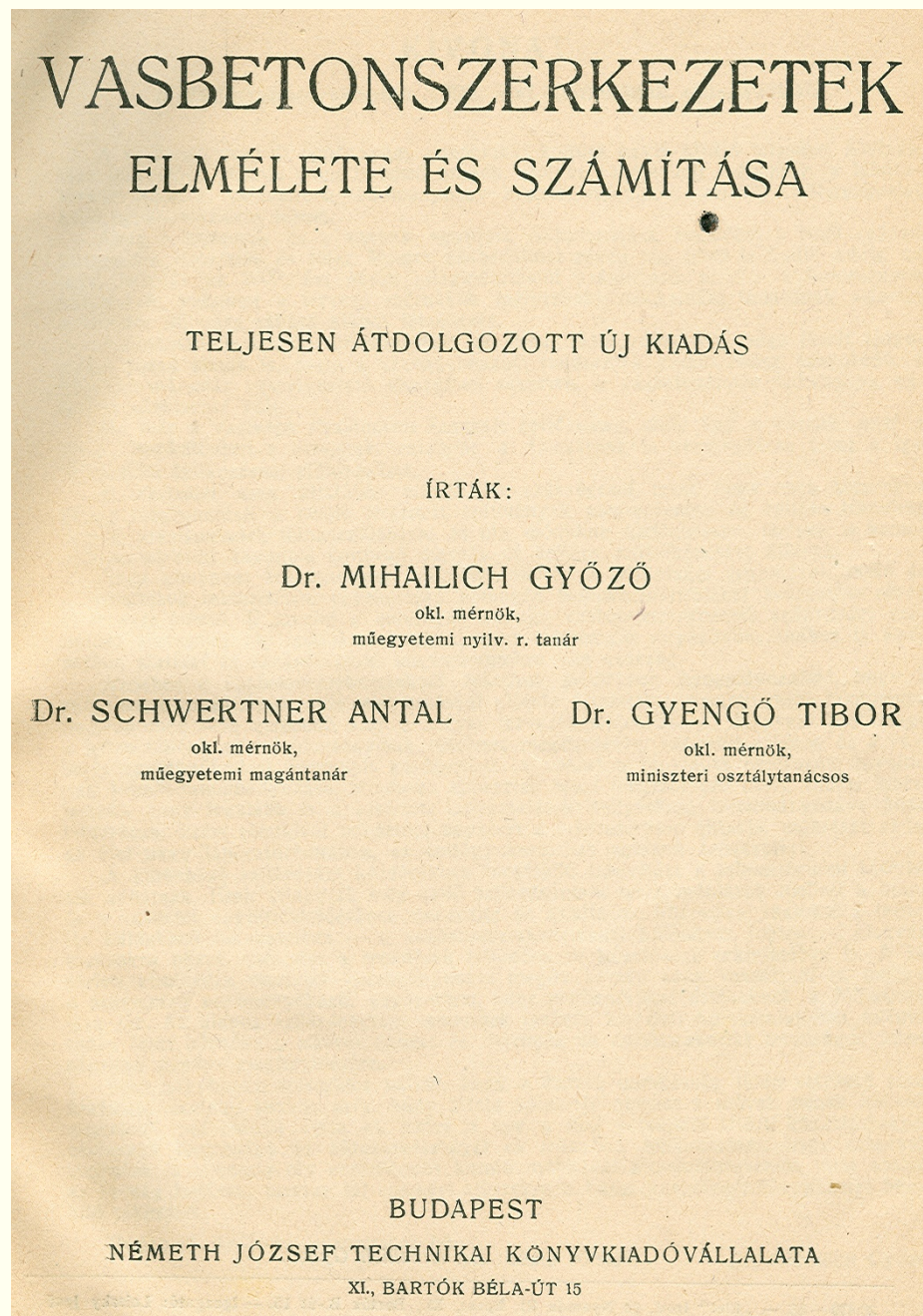


Abb. 20. Vorrichtung für Dauer-Druckbelastung nach Rüsch.



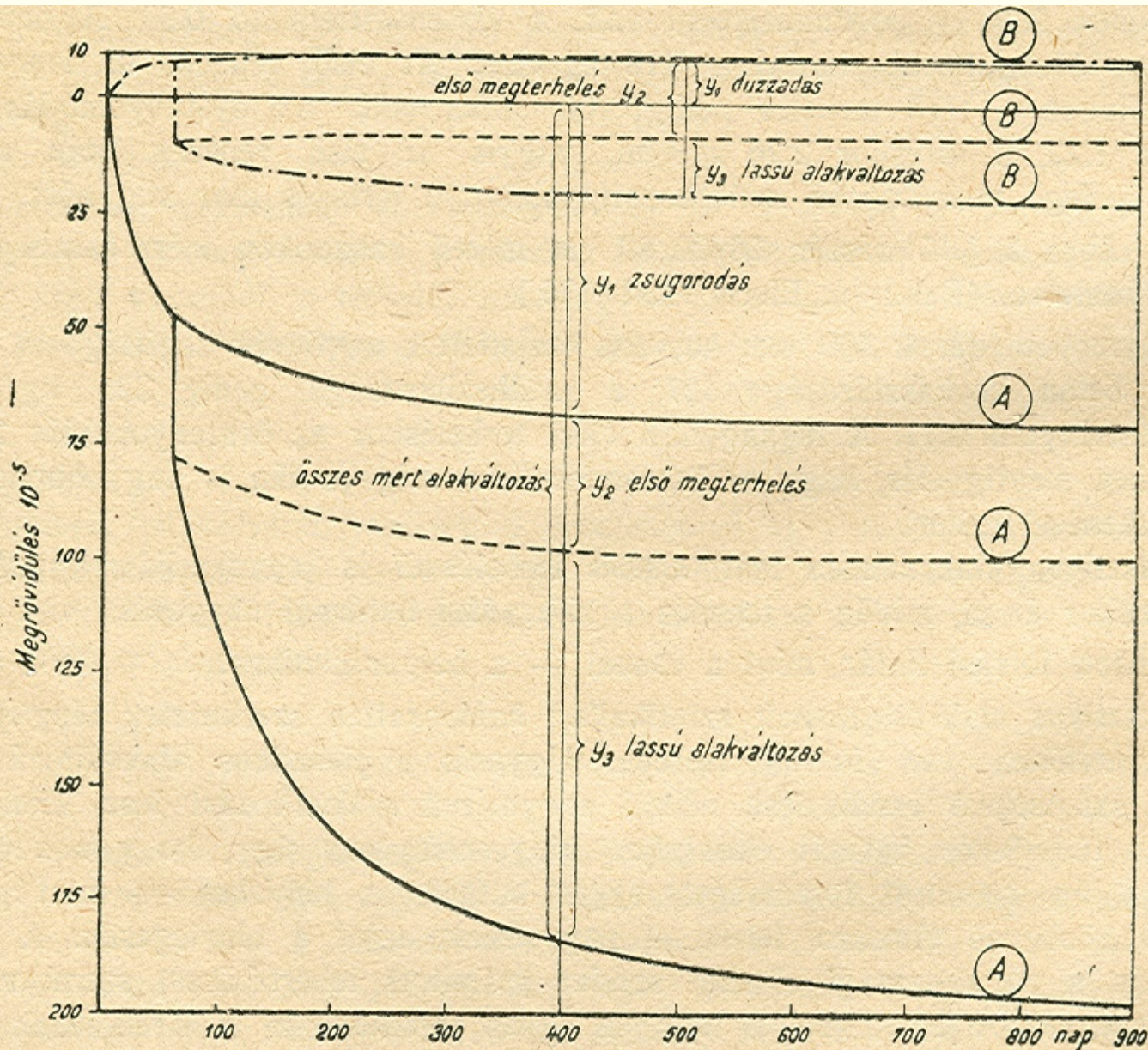
Nem sokkal a  
II. világháború befejezte  
után, 1946 májusában  
jelent meg **Mihailich Gy. –  
Schweitner A. – Gyengő T.:**  
**„Vasbetonszerkezetek  
elmélete és számítása”**  
című könyve, amely az  
1922. évi kiadás teljesen  
átdolgozott új kiadása volt.

A műegyetemi  
professzorok könyvükben  
egyebek mellett  
foglalkoztak a **lassú  
alakváltozással** is.





Ábra a Mihailich Gy. – Schweitner A.  
– Gyengő T.: „Vasbetonszerkezetek  
elmélete és számítása” c. könyvből



45. ábra. A zsugorodás és duzzadás, továbbá az első megterhelés és a tartós terhelés okozta alakváltozások.



**Részlet a Mihailich Gy. – Schweitner A. – Gyengő T.:  
„Vasbetonszerkezetek elmélete és számítása”  
című, 1946. évi kiadású könyvből**

A zsugorodás és a duzzadás hatása úgy állapított meg, hogy a megterhelt próbatestekkel egyidejűleg külön megfigyeltettek teljesen azonos körülmények közt tartott meg nem terhelt próbatestek. A levegő hőmérséklete állandóan 20—22 C°, a nedvességtartalma pedig 45—50% volt. A próbatestek 40/10/10 cm méretű hasábok. Az A jelű beton zúzott porphir-ből készült és viszonylag sok porphir-port tartalmazott. Egy m<sup>3</sup> betonban 341 kg portlandcement volt. A vízcementtényező 0.69. A zúzott kő legnagyobb szemnagysága 2 cm. A B jelű beton rajnai homokból és kavicsból állított elő, a legnagyobb szemnagyság 3 cm. Egy m<sup>3</sup> betonban volt 289 kg portlandcement, a vízcementtényező 0.69. Mindkét fajta beton hasábszilárdsága 60 napos korban 225 kg/cm<sup>2</sup>.  **$225 \text{ kg/cm}^2 = 225 \times 0,0981 = 22,1 \text{ N/mm}^2$**

A 45. ábrán látható diagrammok 60 kg/cm<sup>2</sup> nagyságú tartós terhelés okozta alakváltozásokat mutatnak.

$$60 \text{ kg/cm}^2 = 60 \times 0,0981 = 5,9 \text{ N/mm}^2$$

A tartós terhelés rugós szerkezet útján biztosított.

A betonhasábok 60 napos korukban terheltettek meg először fokozatosan 60 kg/cm<sup>2</sup> nagyságú nyomásig. Ezután ez a 60 kg/cm<sup>2</sup> nagyságú terhelés állandóan hatott. Az A jelű testek levegőn, a B jelűek vízben tároltattak.

A levegőn tartott testek teljes összenyomódásából levonva a zsugorodás és az első megterhelés okozta alakváltozásokat, kiadódik a lassú alakváltozás nagysága.





**Köszönöm a szíves figyelmüket...**

2014/10/9 9:50